



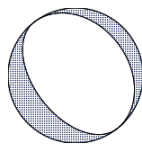
CENTRAL_ITALY
INT-20230309_0000266
2023-03-09 19:08:07

| | |
|---------------------|----------------------|
| Nome evento: | CENTRAL_ITALY |
| ESM ID: | INT-20230309_0000266 |
| ID EMSC: | 20230309_0000266 |
| ID ISC: | 625811455 |
| ID INGV: | 34297011 |
| ID USGS: | us7000jiky |
| CPTI15 ID: | |

Parametri dell'evento

Latitudine [°]: 43.286
Longitudine [°]: 12.389
Profondità [Km]: 8.300
Magnitudo delle onde di volume: 4.6
Magnitudo momento: 4.5
Magnitudo locale: 4.6
Meccanismo focale: Normale
Momento sismico [dyne · cm]: $6.07696 \cdot 10^{22}$
Note:

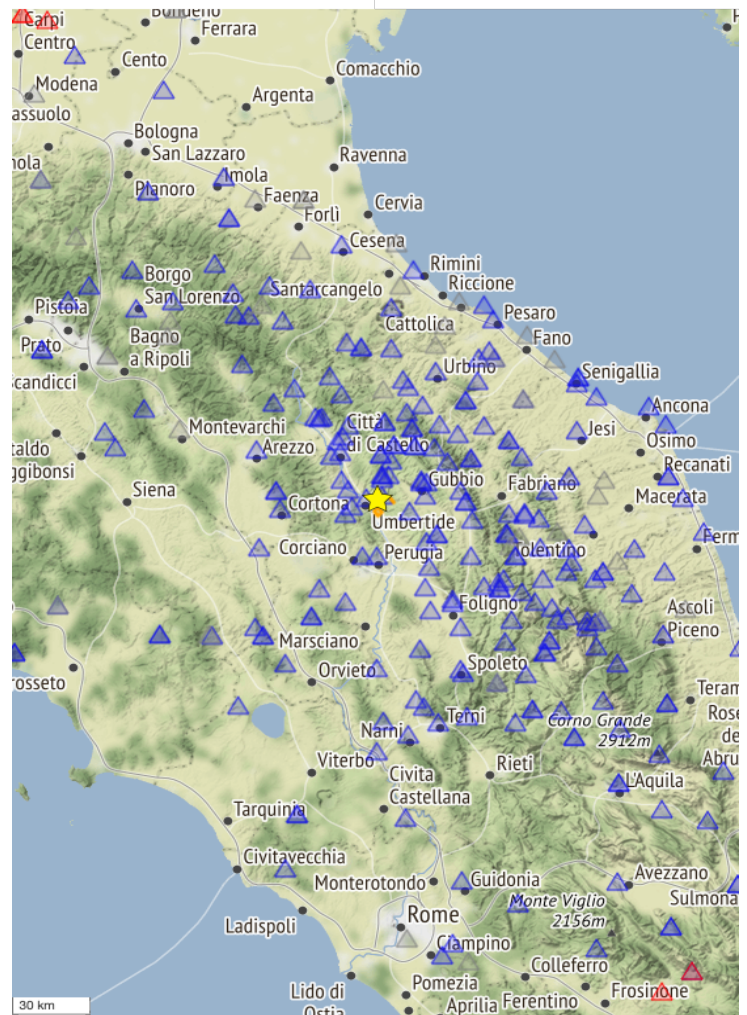
Strike [°]: 142.0 - 325.0
Dip [°]: 52.0 - 38.0
Rake [°]: -92.0 - -87.0



Geometria di faglia

Latitudine dell'angolo UL [°]: 43.300
Longitudine dell'angolo UL [°]: 12.390
Fault length [km]: 2.3
Fault width [km]: 2.7
Depth of the fault top [km]: 6.90
Strike [°]: 142.0
Dip [°]: 52.0
Rake [°]: -92.0
Latitudine [°]: 43.2860
Longitudine [°]: 12.3890
Profondità [km]: 8.300
Note: faglia virtuale

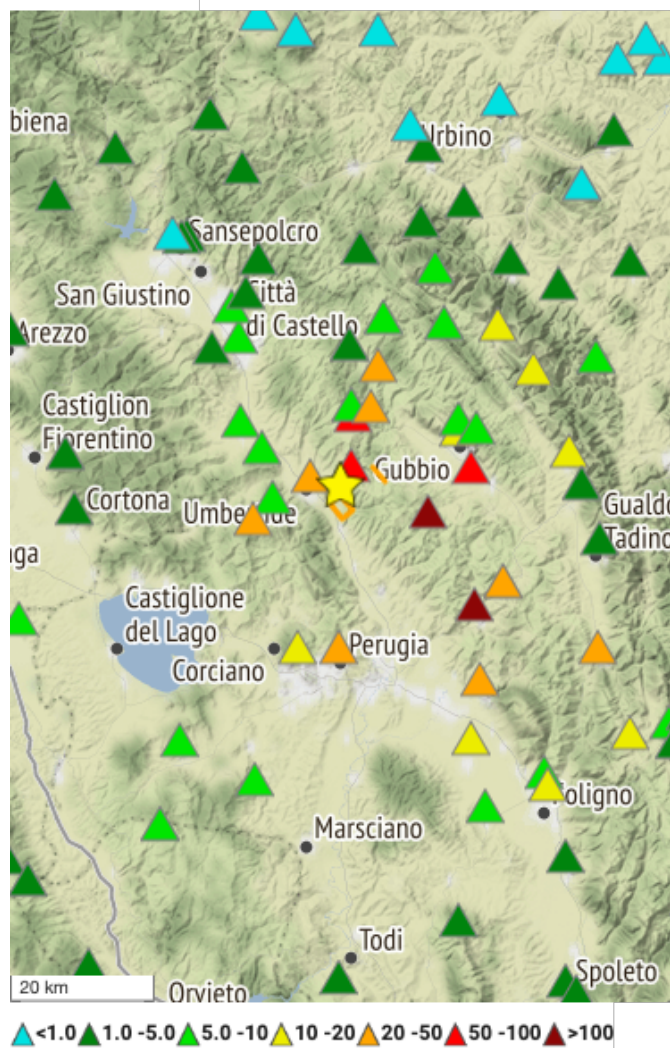
CENTRAL_ITALY (INT-20230309_0000266)



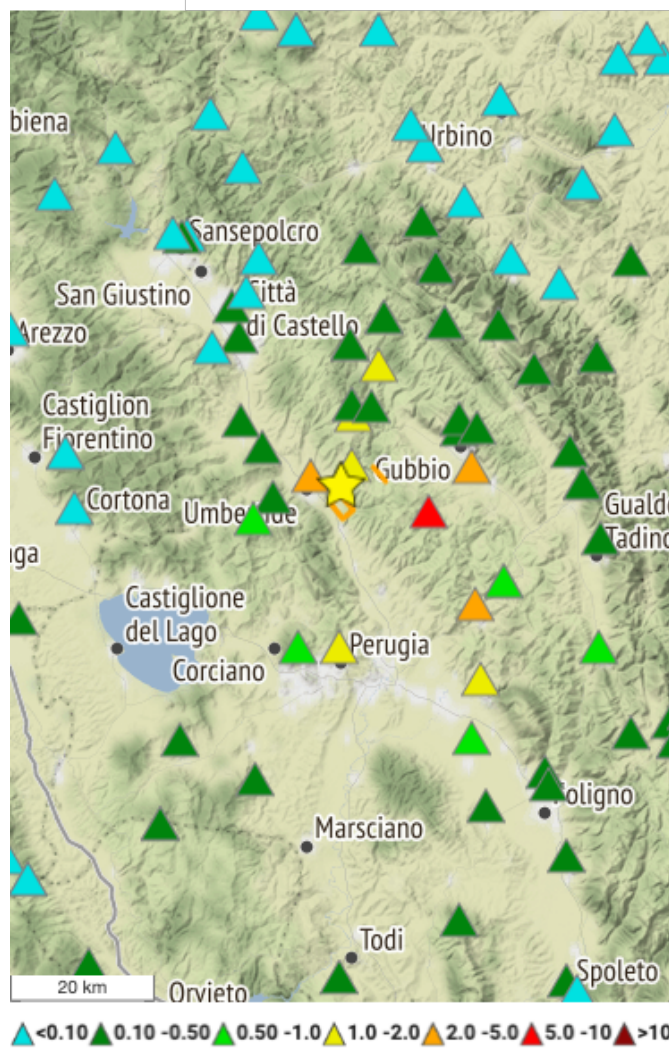
▲ Elaborazione manuale
 ▲ Elaborazione automatica
 ▲ Segnale di cattiva qualità

Componenti orizzontali

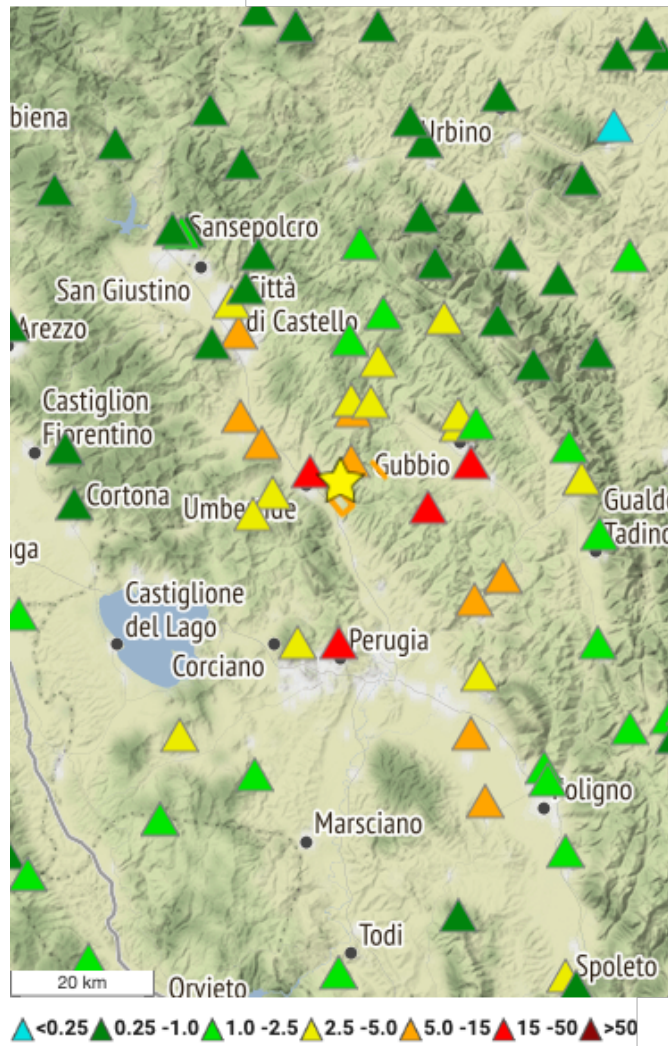
PGA-H [cm/s²]



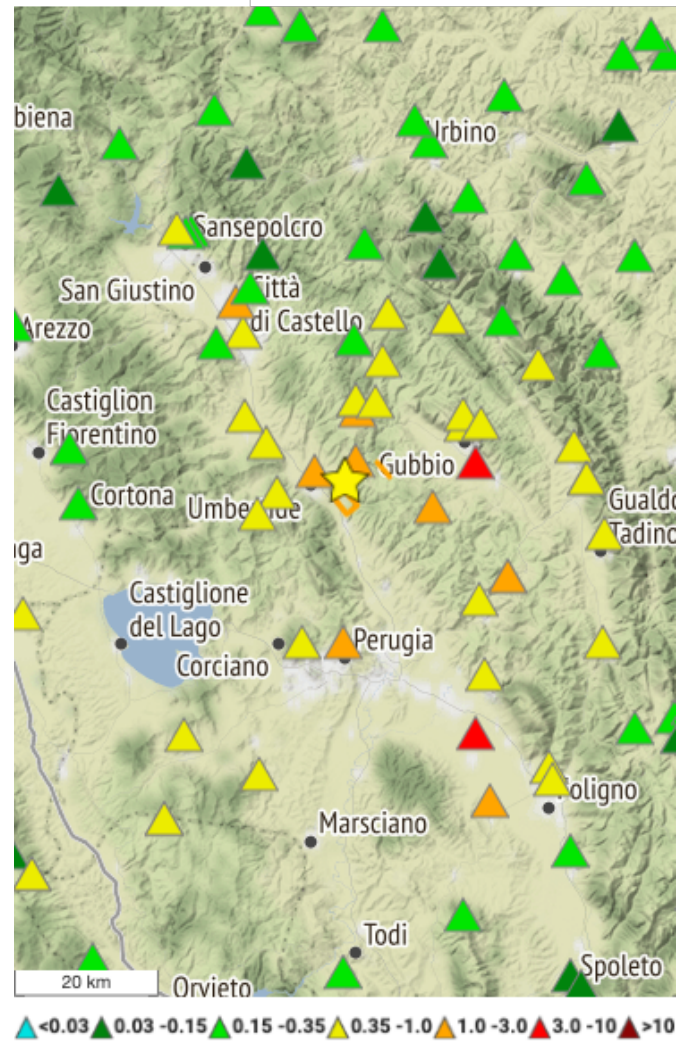
PGV-H [cm/s]



SA-H T=1s [cm/s²]



SA-H T=3s [cm/s²]



Dati registrazioni orizzontali

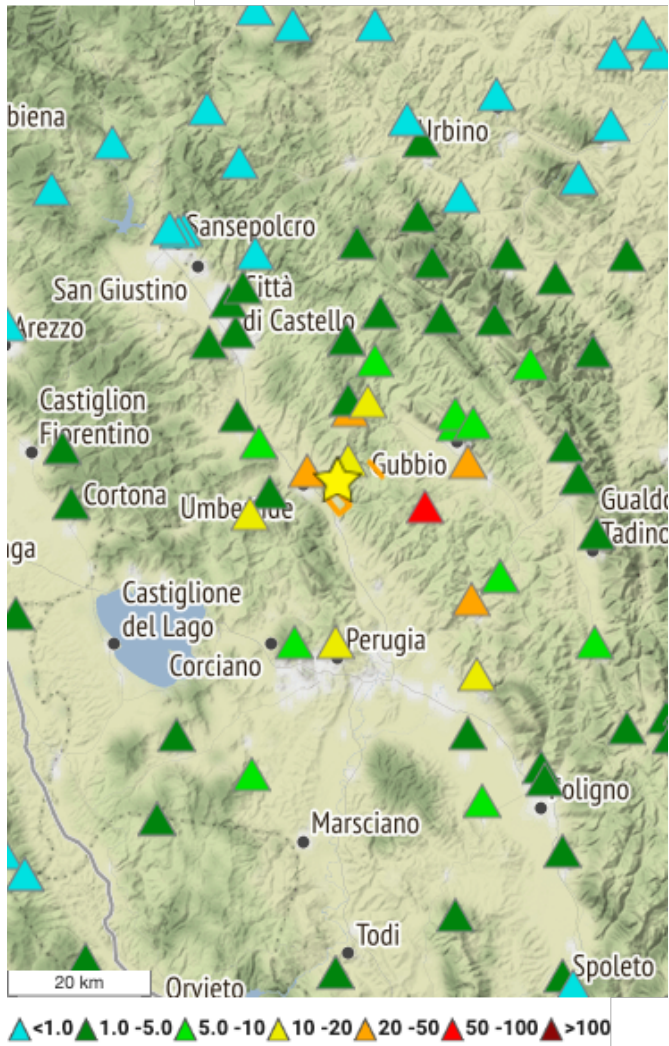
| Rete | Staz. | Sens. | Str. | EC8 | Metodo | Vs30 [m/s] | Repi [km] | Rhyp [km] | PGA-H [cm/s ²] | PGV-H [cm/s] | SA-H T=1s [cm/s ²] | SA-H T=3s [cm/s ²] |
|------|-------|-------|------|-----|------------------------|---------------|--------------|--------------|-------------------------------|-----------------|--------------------------------------|--------------------------------------|
| IV | ATLO | | HN | B | Prova geofisica | 761 | 3.6 | 9.1 | 92.78 | 1.460 | 7.312 | 1.000 |
| IT | UMBT | 00 | HG | C | Geologia di superficie | | 4.2 | 9.3 | 40.13 | 2.275 | 36.12 | 2.062 |
| IV | ATVA | | EH | A | Geologia di superficie | | 8.5 | 11.8 | 7.446 | 0.3789 | 4.285 | 0.8816 |
| IV | TB02 | 01 | DH | | | | 9.6 | 12.7 | 50.45 | 1.492 | 10.38 | 2.041 |
| IV | ATVO | | HN | A | Prova geofisica | 1036 | 10.8 | 13.6 | 8.906 | 0.3913 | 2.863 | 0.5889 |
| IV | ATVO | | HH | A | Prova geofisica | 1036 | 10.8 | 13.6 | 9.656 | 0.3942 | 2.864 | 0.6045 |
| IV | ATMI | | HH | B | Geologia di superficie | | 11.2 | 13.9 | 8.025 | 0.4124 | 7.326 | 0.5869 |
| IV | MURB | | HN | B | Geologia di superficie | | 11.3 | 14.0 | 126.7 | 6.552 | 21.89 | 2.899 |
| IV | TB01 | 01 | DH | | | | 11.3 | 14.0 | 20.70 | 0.4848 | 2.986 | 0.555 |
| IT | UMB | 00 | HG | B | Geologia di superficie | | 11.4 | 14.1 | 28.48 | 0.6225 | 4.354 | 0.9235 |
| IT | CDCT | 00 | HN | B | Topografia | 373 | 15.3 | 17.4 | 7.311 | 0.450 | 8.586 | 0.9382 |
| IT | PTL | 00 | HG | B | Geologia di superficie | | 16.5 | 18.5 | 34.29 | 1.212 | 4.255 | 0.5018 |
| IT | GBP | 00 | HG | C | Prova geofisica | 224 | 16.6 | 18.5 | 82.08 | 4.444 | 16.42 | 3.699 |
| IT | GBSL | 00 | HN | B | Topografia | 795 | 16.8 | 18.7 | 11.58 | 0.4327 | 2.799 | 0.685 |
| IV | ATFO | | HN | A | Geologia di superficie | | 17.3 | 19.2 | 9.172 | 0.4511 | 2.770 | 0.6117 |
| IV | ATPI | | HN | B | Geologia di superficie | | 18.4 | 20.2 | 4.539 | 0.181 | 2.425 | 0.2539 |
| IV | ATPI | | EH | B | Geologia di superficie | | 18.4 | 20.2 | 2.999 | 0.1217 | 1.603 | 0.1713 |
| IT | GBB | 00 | HG | B | Geologia di | | 18.7 | 20.4 | 9.435 | 0.3129 | 1.844 | 0.4176 |

| Rete | Staz. | Sens. | Str. | EC8 | Metodo | Vs30 [m/s] | Repi [km] | Rhyp [km] | PGA-H [cm/s ²] | PGV-H [cm/s] | SA-H T=1s [cm/s ²] | SA-H T=3s [cm/s ²] |
|------------|-------|-------|------|-----|------------------------|---------------|--------------|--------------|-------------------------------|-----------------|--------------------------------------|--------------------------------------|
| superficie | | | | | | | | | | | | |
| IT | PRGP | 00 | HN | B | Geologia di superficie | | 19.3 | 21.0 | 20.60 | 1.808 | 15.22 | 1.741 |
| IT | PRG | 00 | HN | B | Geologia di superficie | | 20.1 | 21.7 | 10.25 | 0.5455 | 4.277 | 0.6396 |
| IT | VLFB | 00 | HN | B | Topografia | 503 | 21.9 | 23.4 | 105.8 | 2.728 | 6.823 | 0.6252 |
| IV | ATPC | | HH | B | Geologia di superficie | | 22.4 | 23.9 | 8.080 | 0.2582 | 2.545 | 0.3839 |
| IV | ATPC | | HN | B | Geologia di superficie | | 22.4 | 23.9 | 7.521 | 0.2482 | 2.497 | 0.3789 |
| IV | CDCA | | HN | C | Prova geofisica | 277 | 23.0 | 24.4 | 7.313 | 0.3389 | 5.917 | 0.9995 |
| IV | ATCC | | EH | E | Prova geofisica | 653 | 23.2 | 24.7 | 22.28 | 0.9488 | 9.725 | 1.047 |
| IV | ATCC | | HN | E | Prova geofisica | 653 | 23.2 | 24.7 | 40.29 | 0.9938 | 9.405 | 1.250 |
| IV | ATMC | | EH | B | Geologia di superficie | | 24.0 | 25.4 | 2.174 | 0.06893 | 0.5966 | 0.1806 |
| IV | ATBU | | HN | B | Geologia di superficie | | 24.8 | 26.1 | 6.423 | 0.309 | 3.325 | 0.6928 |
| IV | ATBU | | EH | B | Geologia di superficie | | 24.8 | 26.1 | 6.463 | 0.3127 | 3.329 | 0.6968 |
| IT | CTS | 00 | HG | C | Geologia di superficie | | 26.6 | 27.8 | 9.806 | 0.2285 | 3.026 | 1.062 |
| IV | BADI | | EH | B | Geologia di superficie | | 27.5 | 28.8 | 2.158 | 0.07264 | 0.9118 | 0.1837 |
| IT | CNTN | 00 | HN | B | Topografia | 489 | 28.6 | 29.7 | 15.22 | 0.2451 | 0.7074 | 0.2719 |
| IV | ATSC | | EH | A | Geologia di superficie | | 28.6 | 29.8 | 15.16 | 0.357 | 0.8706 | 0.6767 |
| IT | SIG | 00 | HN | C | Geologia di superficie | | 29.0 | 30.1 | 10.78 | 0.2976 | 1.648 | 0.5924 |
| IT | ASS | 00 | HN | A | Geologia di superficie | | 29.2 | 30.4 | 31.79 | 1.325 | 3.389 | 0.5054 |
| IV | PIEI | | HN | A | Geologia di superficie | | 30.2 | 31.3 | 4.885 | 0.1374 | 0.4995 | 0.09599 |

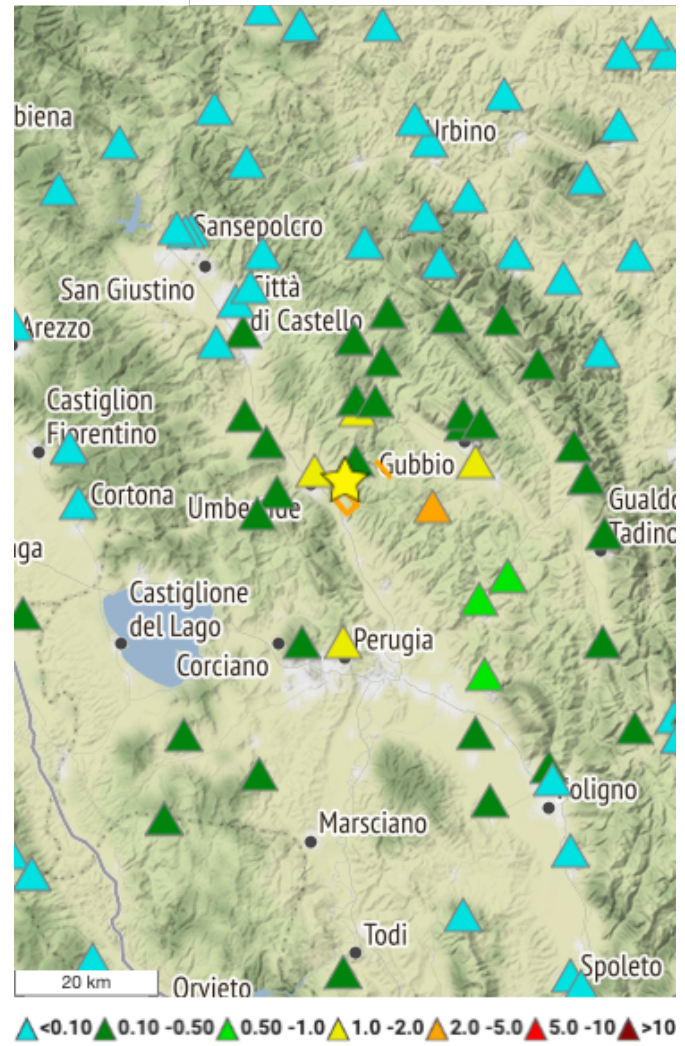
| Rete | Staz. | Sens. | Str. | EC8 | Metodo | Vs30 [m/s] | Repi [km] | Rhyp [km] | PGA-H [cm/s ²] | PGV-H [cm/s] | SA-H T=1s [cm/s ²] | SA-H T=3s [cm/s ²] |
|------|-------|-------|------|-----|------------------------|---------------|--------------|--------------|-------------------------------|-----------------|--------------------------------------|--------------------------------------|
| IV | PIEI | | HH | A | Geologia di superficie | | 30.2 | 31.3 | 5.576 | 0.154 | 0.5446 | 0.1017 |
| IV | FOSV | | HN | B | Geologia di superficie | | 30.2 | 31.3 | 2.696 | 0.1633 | 2.649 | 0.3954 |
| IV | FOSV | | EH | B | Geologia di superficie | | 30.2 | 31.3 | 2.770 | 0.1684 | 2.694 | 0.4102 |
| IV | APEC | | HN | C | Geologia di superficie | | 30.4 | 31.5 | 1.671 | 0.1507 | 1.059 | 0.2546 |
| IV | APEC | | HH | C | Geologia di superficie | | 30.4 | 31.5 | 1.735 | 0.1287 | 1.003 | 0.3465 |
| IT | OREN | 00 | HN | B | Geologia di superficie | | 30.7 | 31.8 | 1.505 | 0.04504 | 0.3556 | 0.09295 |
| IT | GLT | 00 | HN | A | Geologia di superficie | | 33.0 | 34.0 | 4.230 | 0.176 | 2.227 | 0.4375 |
| IT | CRO | 00 | HN | B | Geologia di superficie | | 33.2 | 34.2 | 2.621 | 0.07503 | 0.5959 | 0.2673 |
| IV | CAFI | | HH | B | Geologia di superficie | | 34.6 | 35.6 | 3.612 | 0.08984 | 0.4567 | 0.311 |
| IV | CAFI | | HN | B | Geologia di superficie | | 34.6 | 35.6 | 3.312 | 0.08321 | 0.4446 | 0.2975 |
| IT | CSA | 00 | HG | C | Prova geofisica | 200 | 34.9 | 35.9 | 11.29 | 0.824 | 11.14 | 5.234 |
| IT | PIBC | 00 | HN | B | Topografia | 526 | 35.1 | 36.0 | 4.169 | 0.1063 | 0.612 | 0.07125 |
| IT | CAGL | 00 | HN | B | Topografia | 563 | 36.0 | 36.9 | 1.886 | 0.08719 | 0.7904 | 0.164 |
| IV | SSFR | | HH | C | Geologia di superficie | | 36.0 | 37.0 | 6.133 | 0.1799 | 0.546 | 0.3208 |

Componenti verticali

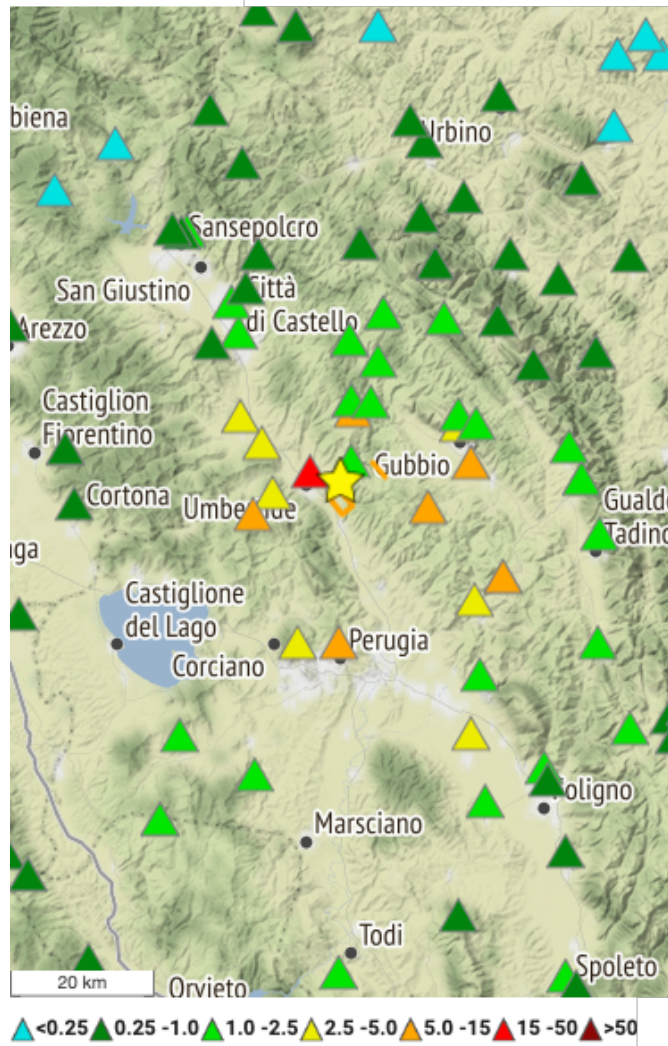
PGA-V [cm/s²]



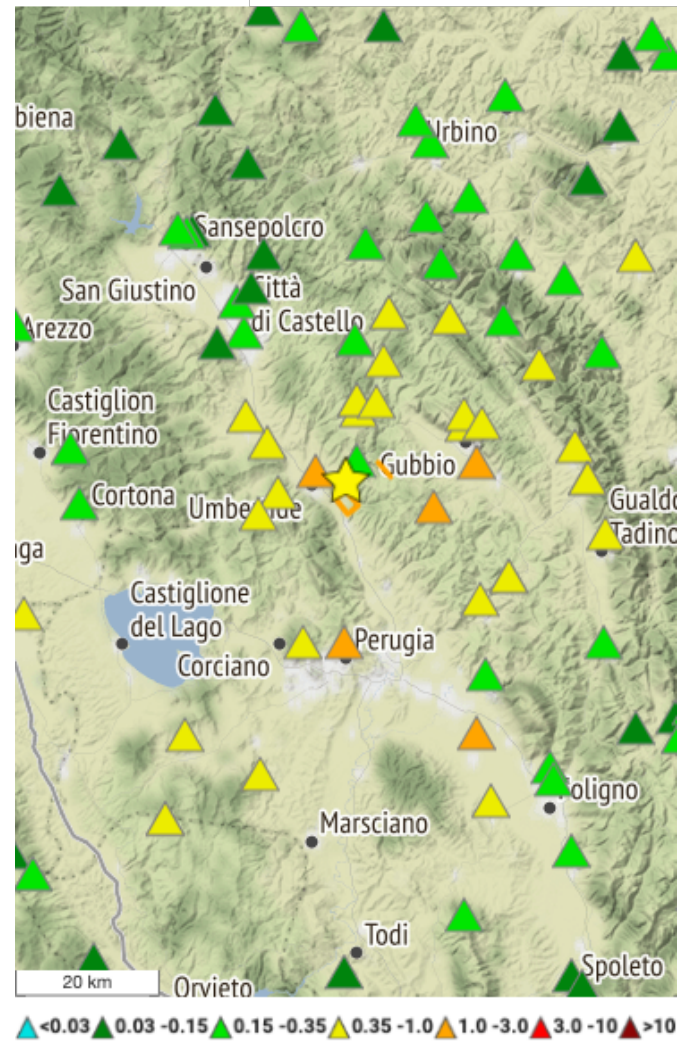
PGV-V [cm/s]



SA-V T=1s [cm/s²]



SA-V T=3s [cm/s²]



Dati registrazioni verticali

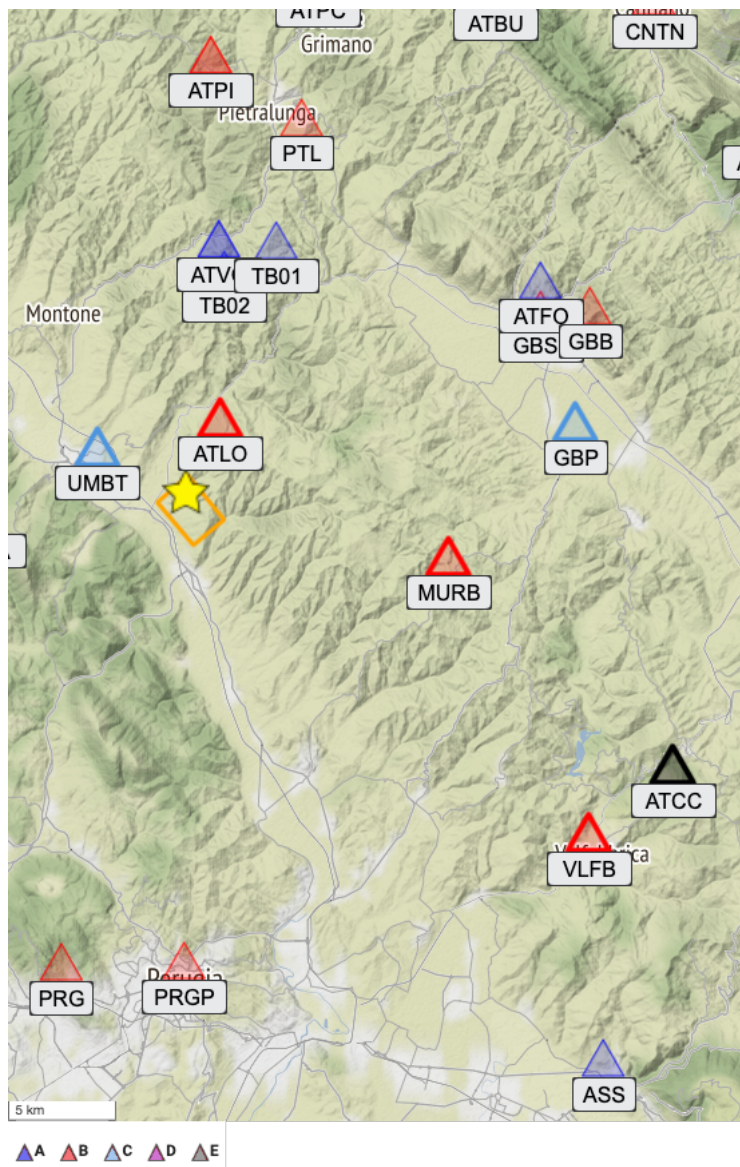
| Rete | Staz. | Sens. | Str. | EC8 | Metodo | Vs30 [m/s] | Repi [km] | Rhyp [km] | PGA-V [cm/s ²] | PGV-V [cm/s] | SA-V T=1s [cm/s ²] | SA-V T=3s [cm/s ²] |
|------|-------|-------|------|-----|------------------------|---------------|--------------|--------------|-------------------------------|-----------------|--------------------------------------|--------------------------------------|
| IV | ATLO | | HN | B | Prova geofisica | 761 | 3.6 | 9.1 | 10.93 | 0.2256 | 1.349 | 0.2385 |
| IT | UMBT | 00 | HG | C | Geologia di superficie | | 4.2 | 9.3 | 31.67 | 1.412 | 15.74 | 1.573 |
| IV | ATVA | | EH | A | Geologia di superficie | | 8.5 | 11.8 | 4.775 | 0.2629 | 3.368 | 0.4888 |
| IV | TB02 | 01 | DH | | | | 9.6 | 12.7 | 33.75 | 1.095 | 8.596 | 0.8553 |
| IV | ATVO | | HN | A | Prova geofisica | 1036 | 10.8 | 13.6 | 4.436 | 0.1837 | 2.252 | 0.3577 |
| IV | ATVO | | HH | A | Prova geofisica | 1036 | 10.8 | 13.6 | 4.521 | 0.1909 | 2.294 | 0.3612 |
| IV | ATMI | | HH | B | Geologia di superficie | | 11.2 | 13.9 | 5.985 | 0.2765 | 2.772 | 0.4009 |
| IV | MURB | | HN | B | Geologia di superficie | | 11.3 | 14.0 | 75.54 | 2.714 | 10.91 | 1.603 |
| IV | TB01 | 01 | DH | | | | 11.3 | 14.0 | 12.50 | 0.3656 | 2.253 | 0.3595 |
| IT | UMB | 00 | HG | B | Geologia di superficie | | 11.4 | 14.1 | 10.67 | 0.4791 | 5.178 | 0.460 |
| IT | CDCT | 00 | HN | B | Topografia | 373 | 15.3 | 17.4 | 3.824 | 0.2032 | 3.495 | 0.464 |
| IT | PTL | 00 | HG | B | Geologia di superficie | | 16.5 | 18.5 | 5.964 | 0.2603 | 1.579 | 0.4747 |
| IT | GBP | 00 | HG | C | Prova geofisica | 224 | 16.6 | 18.5 | 27.51 | 1.158 | 10.21 | 2.097 |
| IT | GBSL | 00 | HN | B | Topografia | 795 | 16.8 | 18.7 | 7.459 | 0.3315 | 2.508 | 0.816 |
| IV | ATFO | | HN | A | Geologia di superficie | | 17.3 | 19.2 | 5.279 | 0.283 | 1.356 | 0.7021 |
| IV | ATPI | | HN | B | Geologia di superficie | | 18.4 | 20.2 | 2.608 | 0.1555 | 1.744 | 0.3923 |
| IV | ATPI | | EH | B | Geologia di superficie | | 18.4 | 20.2 | 1.757 | 0.1034 | 1.173 | 0.265 |
| IT | GBB | 00 | HG | B | Geologia di superficie | | 18.7 | 20.4 | 5.761 | 0.2454 | 1.042 | 0.6989 |

| Rete | Staz. | Sens. | Str. | EC8 | Metodo | Vs30 [m/s] | Repi [km] | Rhyp [km] | PGA-V [cm/s ²] | PGV-V [cm/s] | SA-V T=1s [cm/s ²] | SA-V T=3s [cm/s ²] |
|------|-------|-------|------|-----|------------------------|---------------|--------------|--------------|-------------------------------|-----------------|--------------------------------------|--------------------------------------|
| IT | PRGP | 00 | HN | B | Geologia di superficie | | 19.3 | 21.0 | 14.50 | 1.038 | 8.049 | 1.287 |
| IT | PRG | 00 | HN | B | Geologia di superficie | | 20.1 | 21.7 | 8.488 | 0.3581 | 3.158 | 0.9315 |
| IT | VLFB | 00 | HN | B | Topografia | 503 | 21.9 | 23.4 | 25.48 | 0.6487 | 3.660 | 0.4537 |
| IV | ATPC | | HH | B | Geologia di superficie | | 22.4 | 23.9 | 3.093 | 0.1266 | 1.440 | 0.4158 |
| IV | ATPC | | HN | B | Geologia di superficie | | 22.4 | 23.9 | 2.943 | 0.1252 | 1.421 | 0.4083 |
| IV | CDCA | | HN | C | Prova geofisica | 277 | 23.0 | 24.4 | 3.672 | 0.1416 | 1.726 | 0.2409 |
| IV | ATCC | | EH | E | Prova geofisica | 653 | 23.2 | 24.7 | 9.600 | 0.7112 | 12.27 | 0.7477 |
| IV | ATCC | | HN | E | Prova geofisica | 653 | 23.2 | 24.7 | 9.877 | 0.7234 | 12.42 | 0.7361 |
| IV | ATMC | | EH | B | Geologia di superficie | | 24.0 | 25.4 | 1.071 | 0.0413 | 0.5282 | 0.07225 |
| IV | ATBU | | HN | B | Geologia di superficie | | 24.8 | 26.1 | 2.550 | 0.1615 | 1.670 | 0.4601 |
| IV | ATBU | | EH | B | Geologia di superficie | | 24.8 | 26.1 | 2.624 | 0.1643 | 1.674 | 0.4664 |
| IT | CTS | 00 | HG | C | Geologia di superficie | | 26.6 | 27.8 | 3.654 | 0.09217 | 1.956 | 0.3487 |
| IV | BADI | | EH | B | Geologia di superficie | | 27.5 | 28.8 | 1.539 | 0.06308 | 0.5279 | 0.09656 |
| IT | CNTN | 00 | HN | B | Topografia | 489 | 28.6 | 29.7 | 3.653 | 0.111 | 0.6614 | 0.303 |
| IV | ATSC | | EH | A | Geologia di superficie | | 28.6 | 29.8 | 7.277 | 0.1582 | 0.5778 | 0.3929 |
| IT | SIG | 00 | HN | C | Geologia di superficie | | 29.0 | 30.1 | 4.214 | 0.188 | 1.416 | 0.6097 |
| IT | ASS | 00 | HN | A | Geologia di superficie | | 29.2 | 30.4 | 15.96 | 0.5232 | 2.348 | 0.2538 |
| IV | PIEI | | HN | A | Geologia di superficie | | 30.2 | 31.3 | 1.602 | 0.05793 | 0.4975 | 0.1889 |
| IV | PIEI | | HH | A | Geologia di superficie | | 30.2 | 31.3 | 1.745 | 0.06047 | 0.5088 | 0.1929 |

| Rete | Staz. | Sens. | Str. | EC8 | Metodo | Vs30 [m/s] | Repi [km] | Rhyp [km] | PGA-V [cm/s ²] | PGV-V [cm/s] | SA-V T=1s [cm/s ²] | SA-V T=3s [cm/s ²] |
|------|-------|-------|------|-----|------------------------|---------------|--------------|--------------|-------------------------------|-----------------|--------------------------------------|--------------------------------------|
| IV | FOSV | | HN | B | Geologia di superficie | | 30.2 | 31.3 | 1.997 | 0.1285 | 1.014 | 0.5983 |
| IV | FOSV | | EH | B | Geologia di superficie | | 30.2 | 31.3 | 2.004 | 0.1291 | 1.008 | 0.607 |
| IV | APEC | | HN | C | Geologia di superficie | | 30.4 | 31.5 | 1.147 | 0.06947 | 0.7072 | 0.2075 |
| IV | APEC | | HH | C | Geologia di superficie | | 30.4 | 31.5 | 1.255 | 0.07315 | 0.7026 | 0.2271 |
| IT | OREN | 00 | HN | B | Geologia di superficie | | 30.7 | 31.8 | 0.9073 | 0.04916 | 0.5003 | 0.1418 |
| IT | GLT | 00 | HN | A | Geologia di superficie | | 33.0 | 34.0 | 3.974 | 0.1728 | 1.913 | 0.5216 |
| IT | CRO | 00 | HN | B | Geologia di superficie | | 33.2 | 34.2 | 1.708 | 0.07579 | 0.6234 | 0.3313 |
| IV | CAFI | | HH | B | Geologia di superficie | | 34.6 | 35.6 | 1.977 | 0.09895 | 0.6198 | 0.3457 |
| IV | CAFI | | HN | B | Geologia di superficie | | 34.6 | 35.6 | 1.859 | 0.0945 | 0.6079 | 0.3259 |
| IT | CSA | 00 | HG | C | Prova geofisica | 200 | 34.9 | 35.9 | 4.120 | 0.4198 | 4.084 | 1.786 |
| IT | PIBC | 00 | HN | B | Topografia | 526 | 35.1 | 36.0 | 1.219 | 0.04636 | 0.4527 | 0.1673 |
| IT | CAGL | 00 | HN | B | Topografia | 563 | 36.0 | 36.9 | 1.651 | 0.07334 | 0.721 | 0.2035 |
| IV | SSFR | | HH | C | Geologia di superficie | | 36.0 | 37.0 | 3.073 | 0.1028 | 0.3411 | 0.2572 |

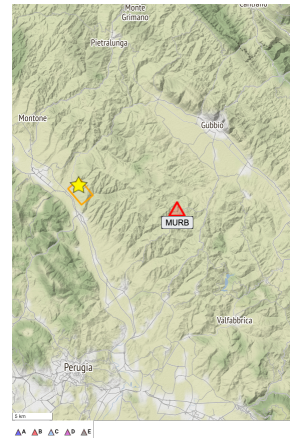
Registrazioni selezionate

| Rete | Stazione | ID sensore | Nome stazione | Repi [km] | Strumento | PGA-H |
|------|----------|------------|-------------------|-----------|-----------|-------|
| IV | MURB | | MONTE URBINO | 11.3 | HN | 126.7 |
| IT | VLFB | 00 | Valfabbrica | 21.9 | HN | 105.8 |
| IV | ATLO | | AVT Montelovesco | 3.6 | HN | 92.78 |
| IT | GBP | 00 | GUBBIO PIANA | 16.6 | HG | 82.08 |
| IV | ATCC | | AVT Casa Castalda | 23.2 | HN | 40.29 |
| IT | UMBT | 00 | UMBERTIDE | 4.2 | HG | 40.13 |



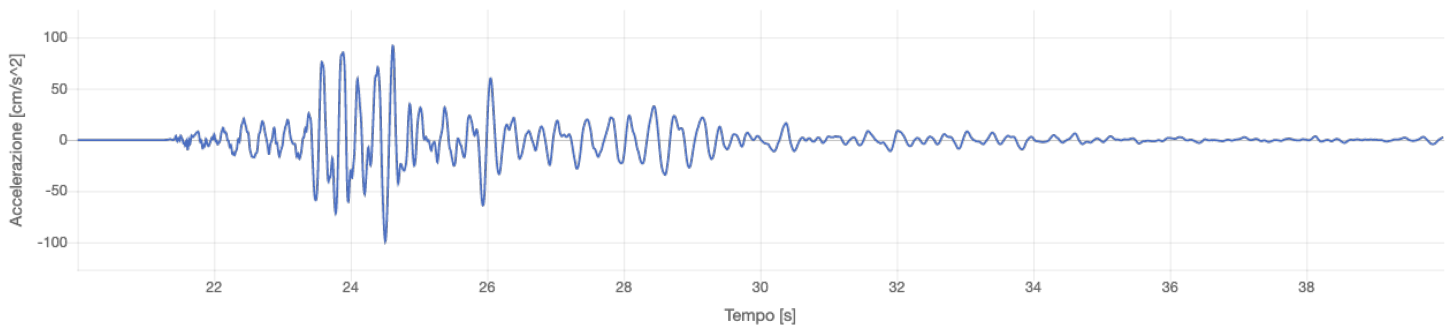
IV.MURB. (MONTE URBINO)

| | | | |
|-----------------------|---------------------------------|--------------------------|---|
| Codice rete: | IV | Descrizione rete: | Italian National Seismic Network (INSN) |
| Stazione: | MURB | Nome stazione: | MONTE URBINO |
| ID sensore: | | Strumento: | HN |
| Processamento: | manuale (Paolucci et al., 2011) | | |
| Rjb [km]: | 9.7 | Repi [km]: | 11.3 |
| Rrup [km]: | 11.9 | Rhyp [km]: | 14.0 |
| Classe EC8: | B | Vs30 [m/s]: | |

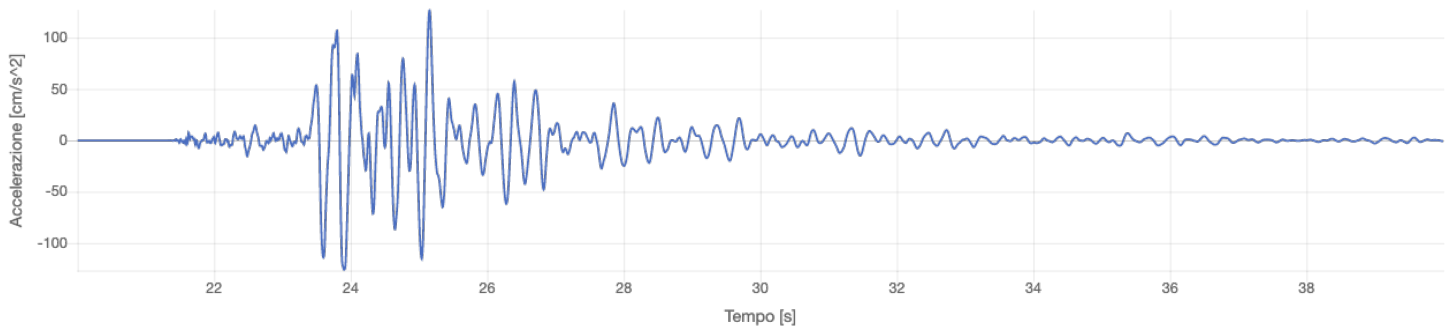


IV.MURB. - Accelerazione

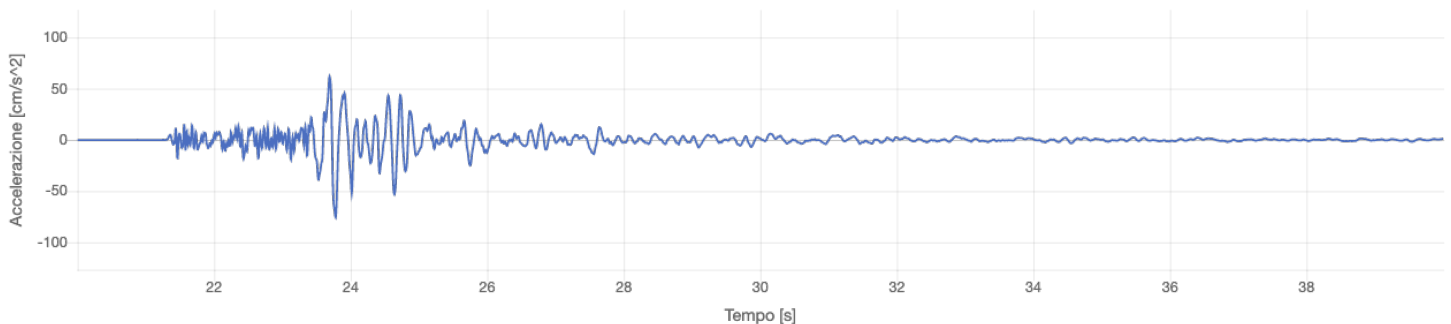
IV.MURB..HNE.INT-20230309_0000266



IV.MURB..HNN.INT-20230309_0000266

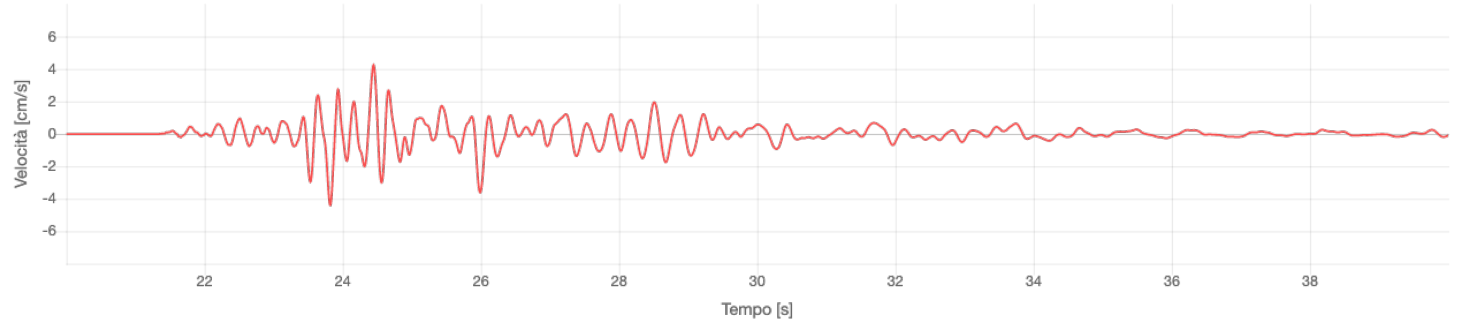


IV.MURB..HNZ.INT-20230309_0000266

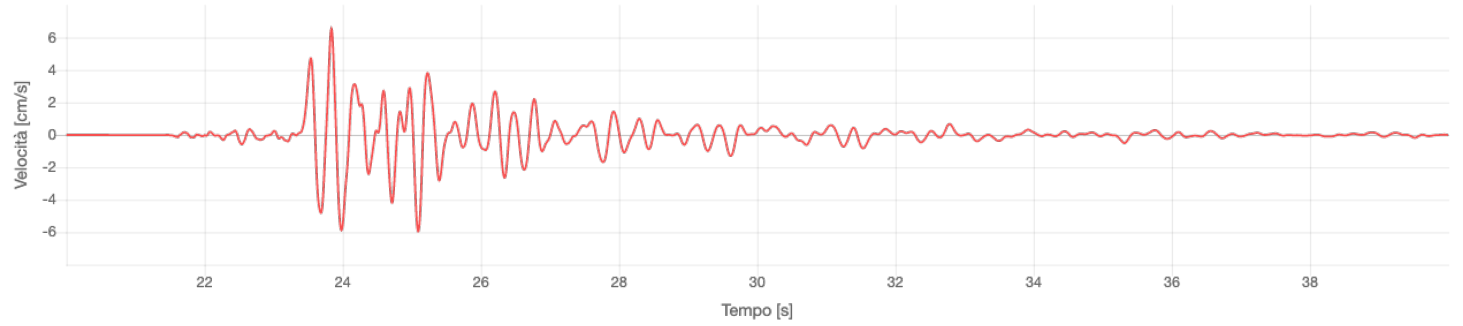


IV.MURB. - Velocità

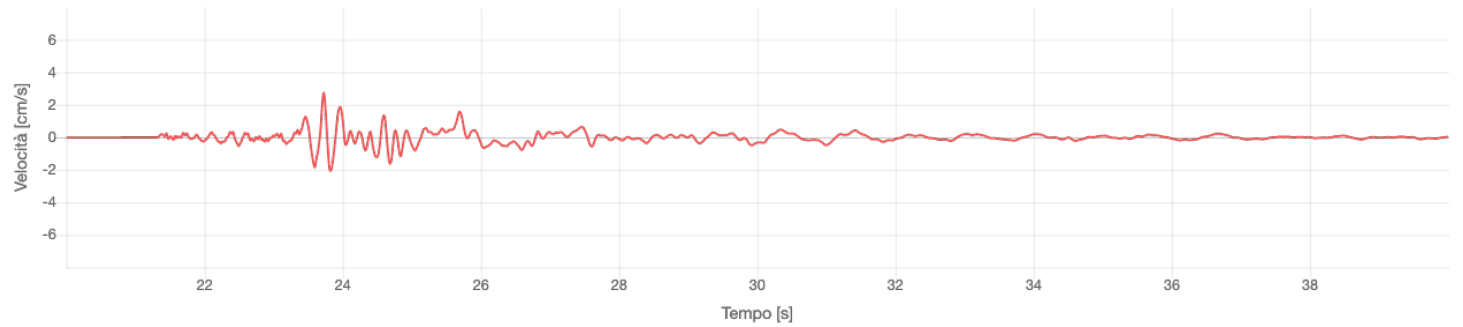
IV.MURB..HNE.INT-20230309_0000266



IV.MURB..HNN.INT-20230309_0000266

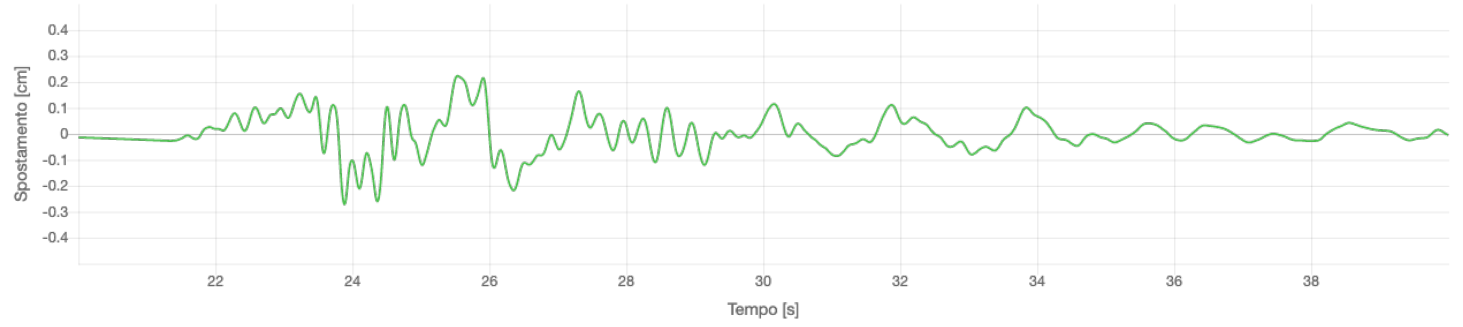


IV.MURB..HNZ.INT-20230309_0000266

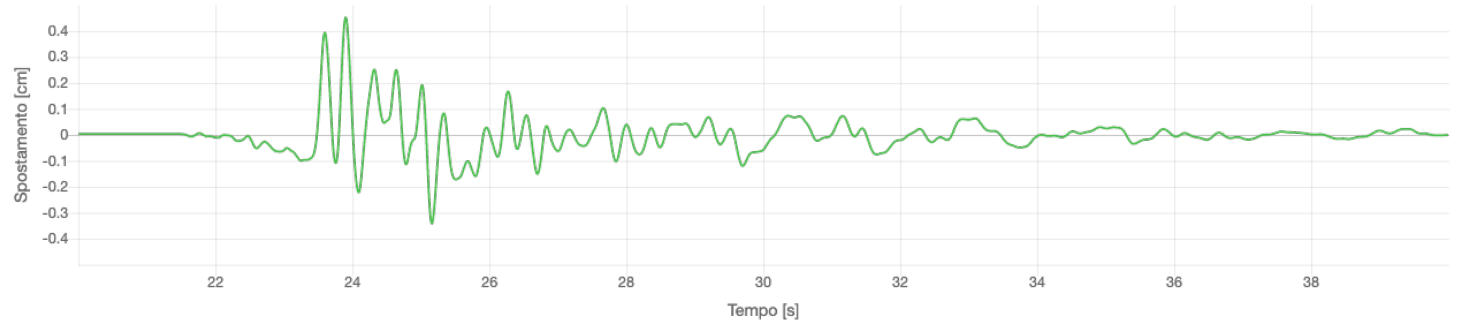


IV.MURB. - Spostamento

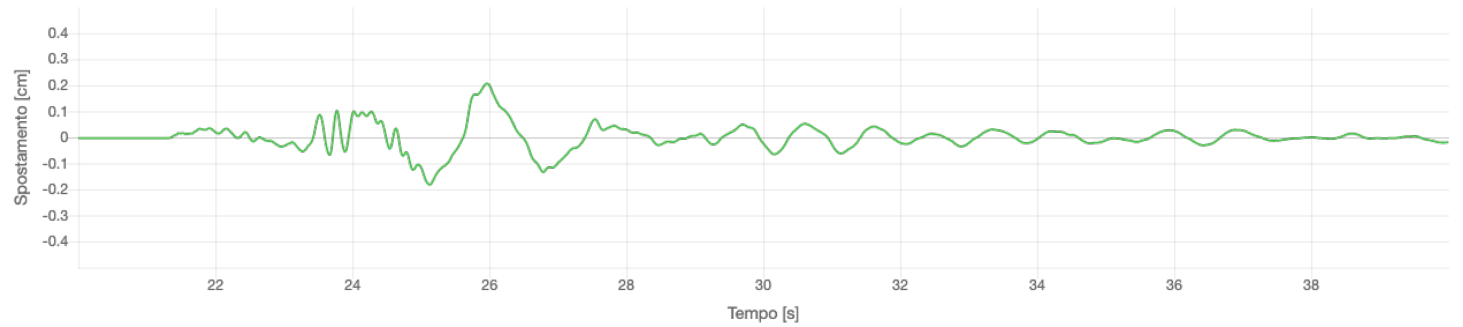
IV.MURB..HNE.INT-20230309_0000266



IV.MURB..HNN.INT-20230309_0000266

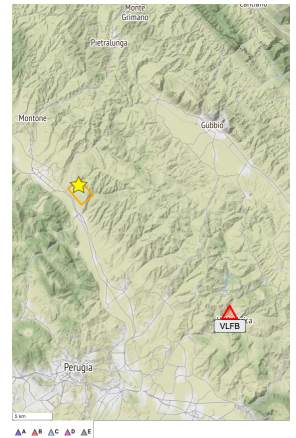


IV.MURB..HNZ.INT-20230309_0000266

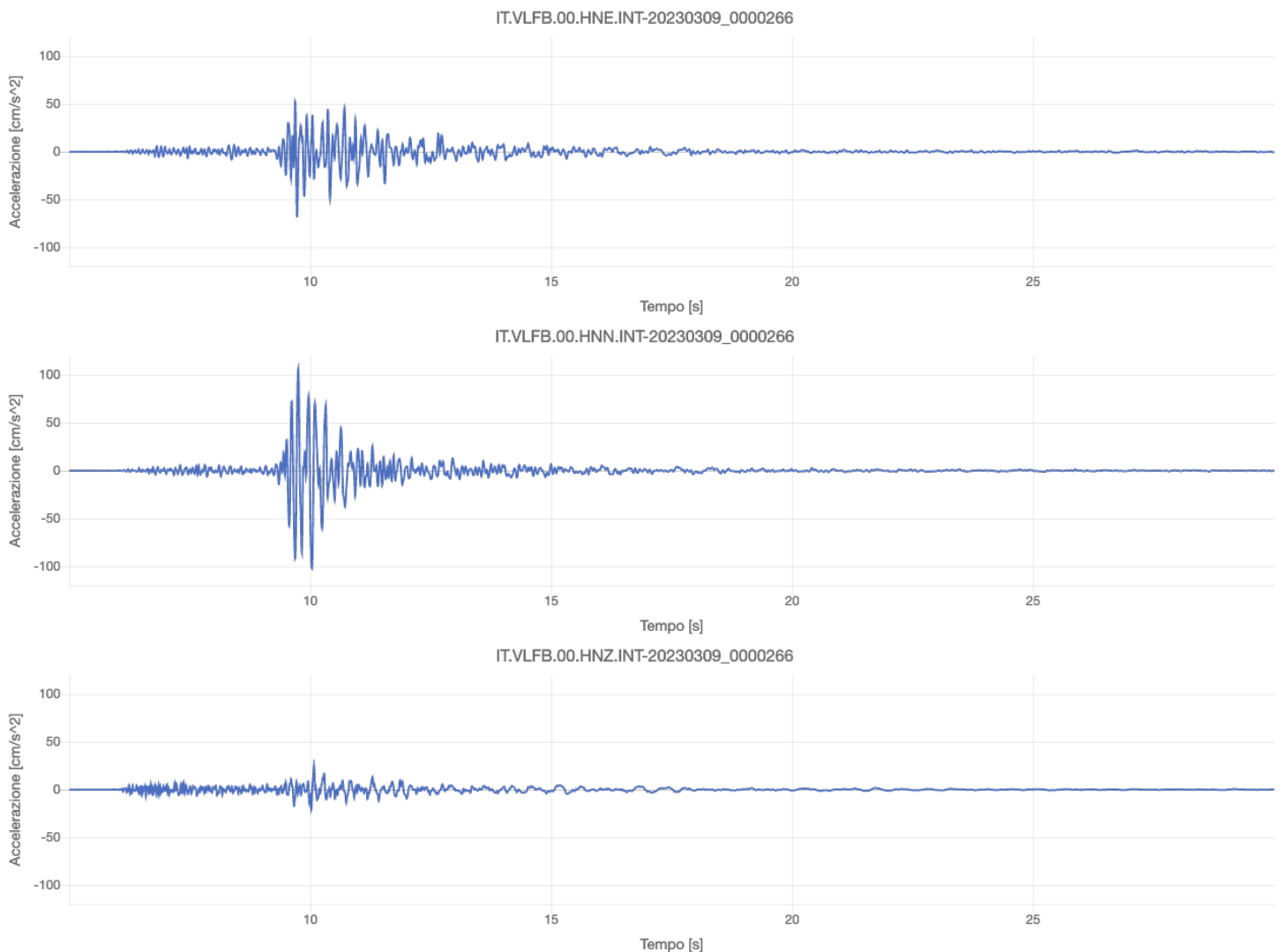


IT.VLFB.00 (Valfabbrica)

| | | | |
|-----------------------|---------------------------------|--------------------------|-------------------------------------|
| Codice rete: | IT | Descrizione rete: | Italian Strong Motion Network (RAN) |
| Stazione: | VLFB | Nome stazione: | Valfabbrica |
| ID sensore: | 00 | Strumento: | HN |
| Processamento: | manuale (Paolucci et al., 2011) | | |
| Rjb [km]: | 20.6 | Repi [km]: | 21.9 |
| Rrup [km]: | 21.7 | Rhyp [km]: | 23.4 |
| Classe EC8: | B | Vs30 [m/s]: | 503 |

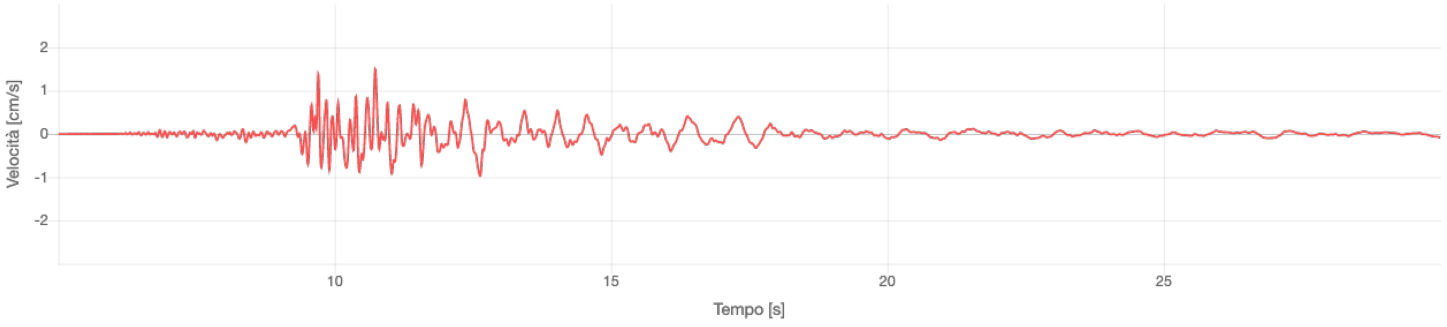


IT.VLFB.00 - Accelerazione

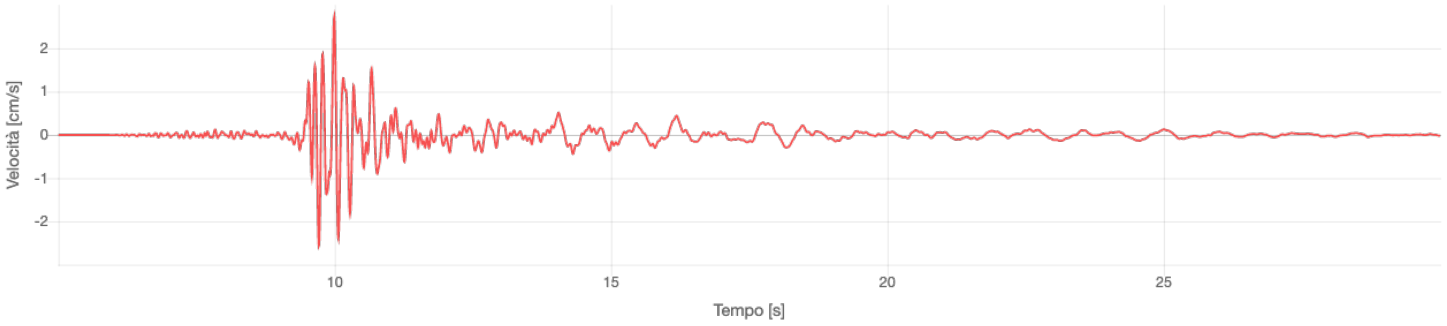


IT.VLFB.00 - Velocità

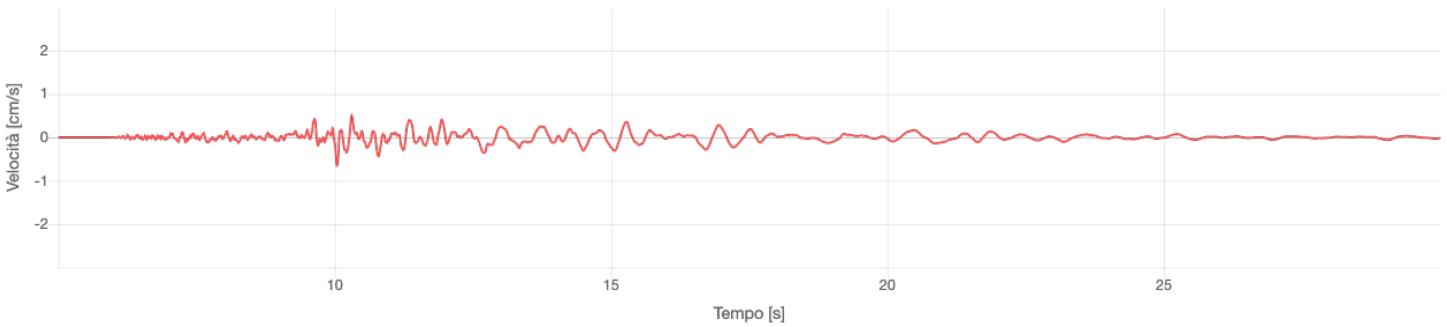
IT.VLFB.00.HNE.INT-20230309_0000266



IT.VLFB.00.HNN.INT-20230309_0000266

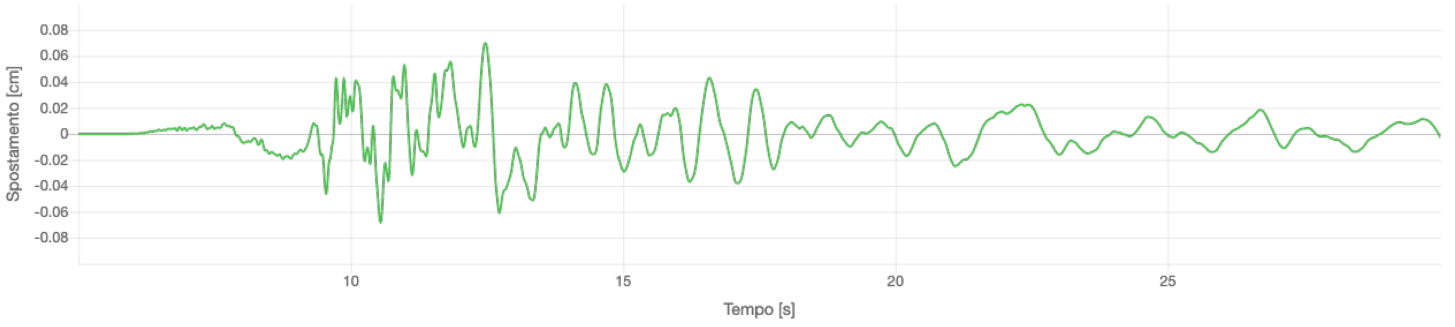


IT.VLFB.00.HNZ.INT-20230309_0000266

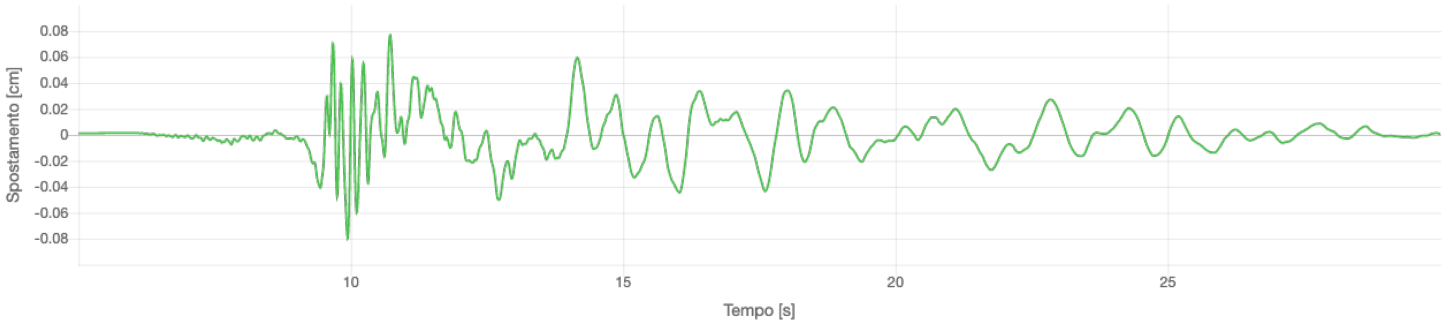


IT.VLFB.00 - Spostamento

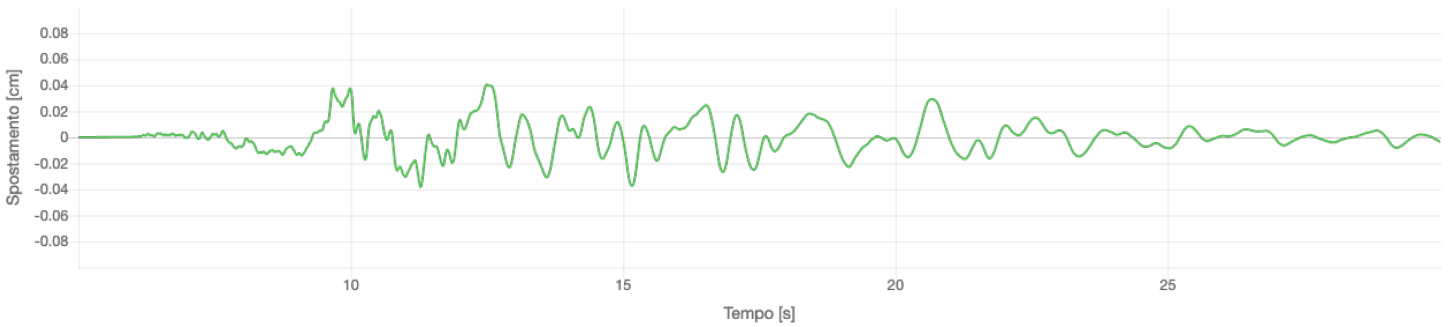
IT.VLFB.00.HNE.INT-20230309_0000266



IT.VLFB.00.HNN.INT-20230309_0000266

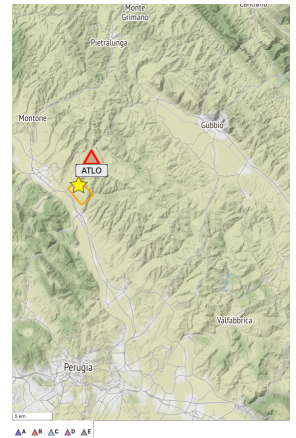


IT.VLFB.00.HNZ.INT-20230309_0000266

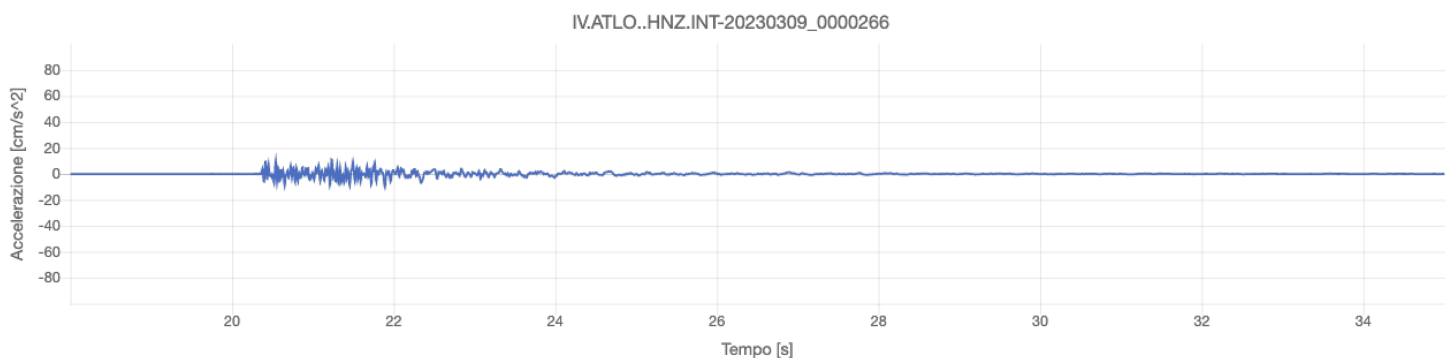
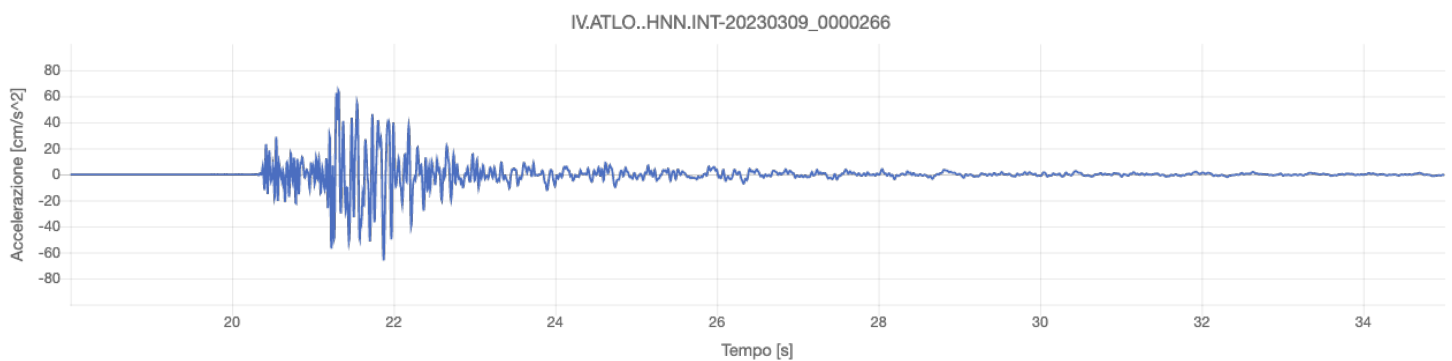
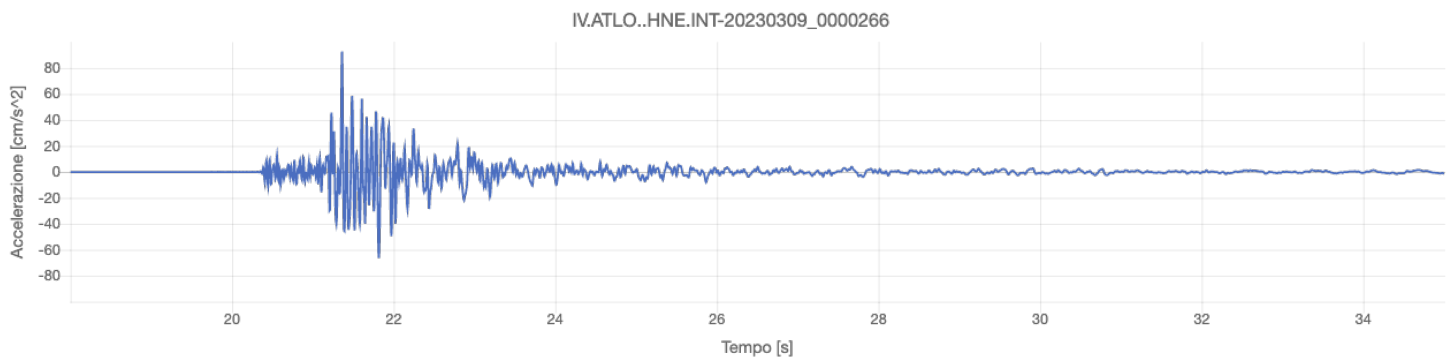


IV.ATLO. (AVT Montelovesco)

| | | | |
|-----------------------|---------------------------------|--------------------------|------------------|
| Codice rete: | IV | Descrizione rete: | Italian National |
| Stazione: | ATLO | | Seismic Network |
| ID sensore: | | | (INSN) |
| | | Nome stazione: | AVT Montelovesco |
| | | Strumento: | HN |
| Processamento: | manuale (Paolucci et al., 2011) | | |
| Rjb [km]: | 2.2 | Repi [km]: | 3.6 |
| Rrup [km]: | 7.2 | Rhyp [km]: | 9.1 |
| Classe EC8: | B | Vs30 [m/s]: | 761 |

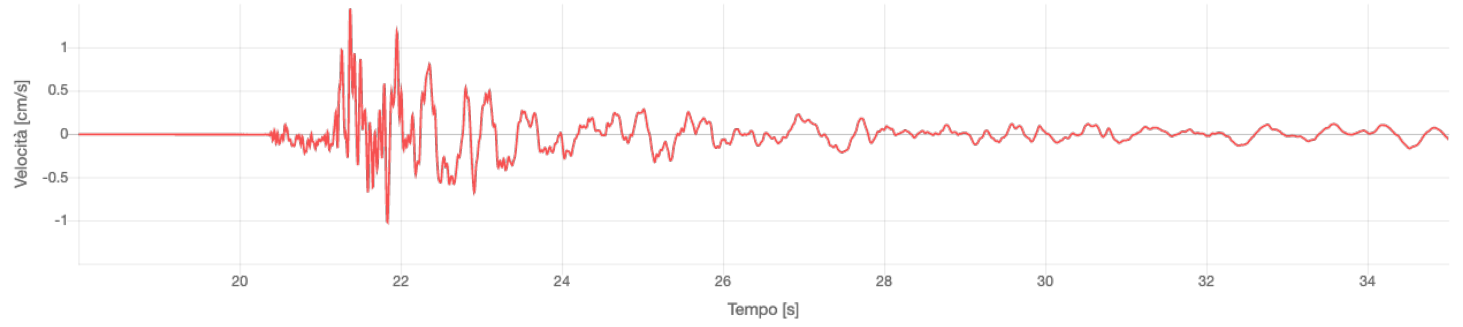


IV.ATLO. - Accelerazione

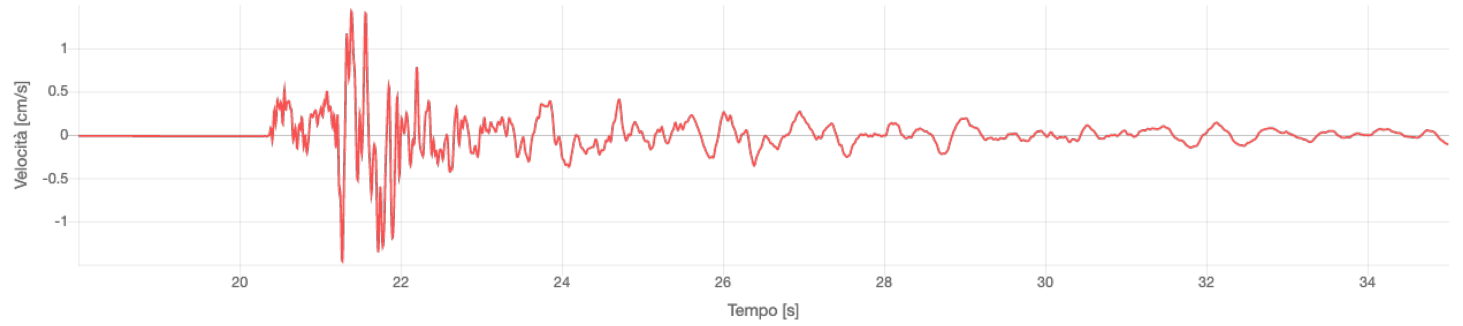


IV.ATLO. - Velocità

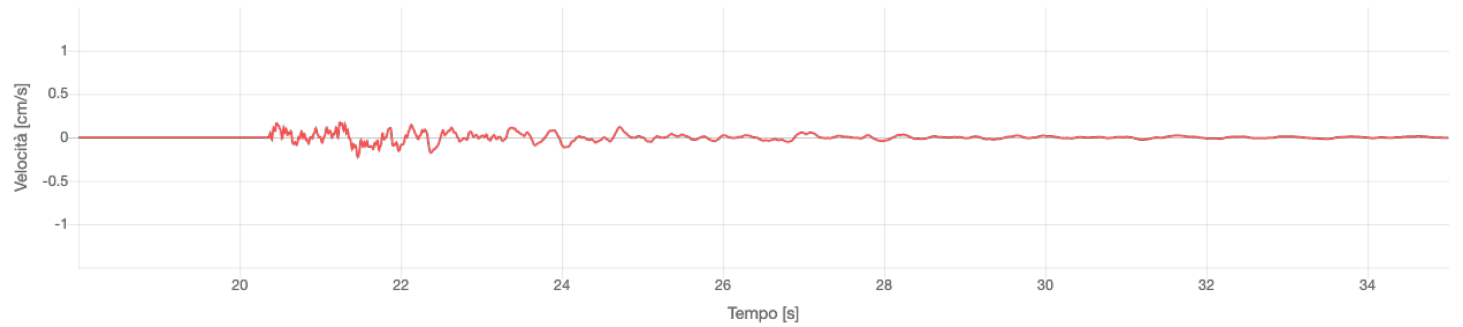
IV.ATLO..HNE.INT-20230309_0000266



IV.ATLO..HNN.INT-20230309_0000266

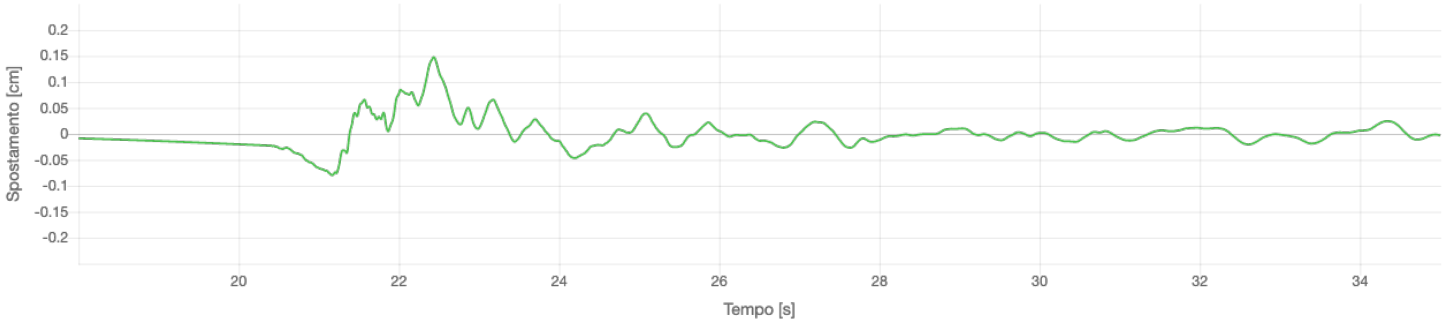


IV.ATLO..HNZ.INT-20230309_0000266

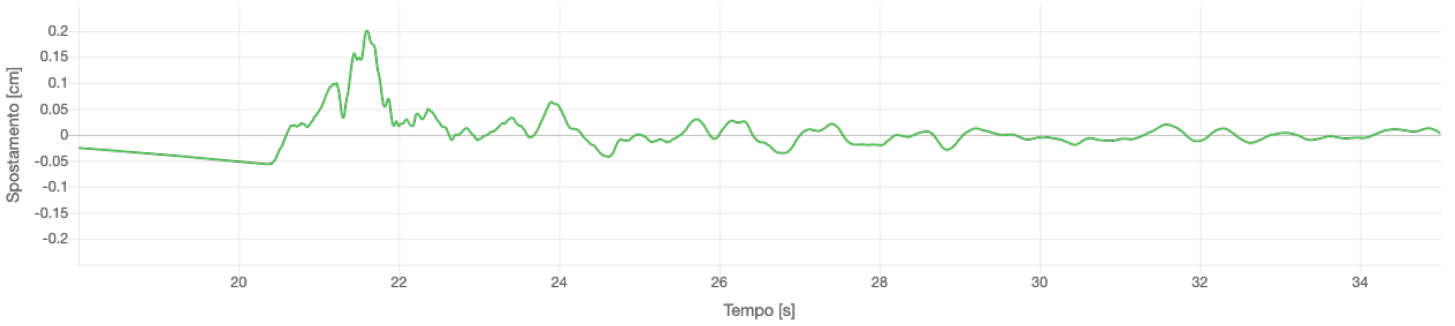


IV.ATLO. - Spostamento

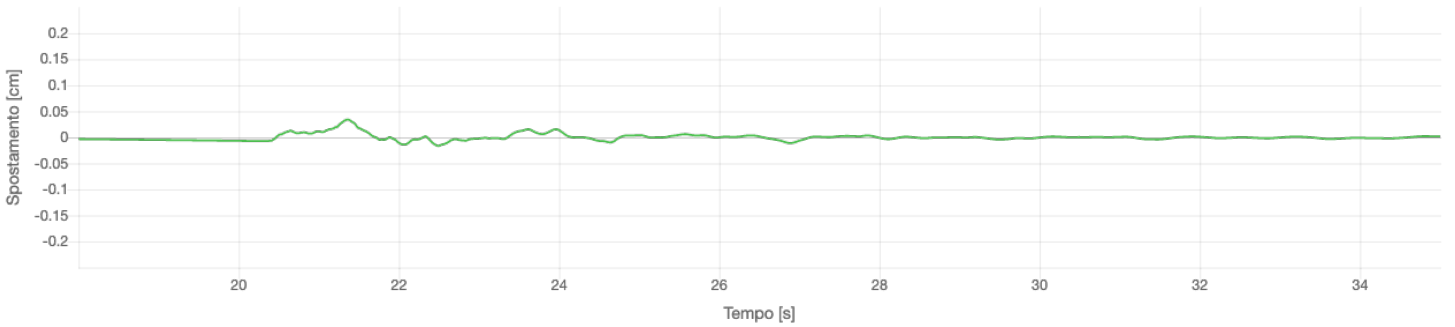
IV.ATLO..HNE.INT-20230309_0000266



IV.ATLO..HNN.INT-20230309_0000266

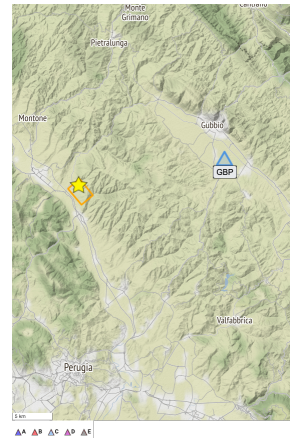


IV.ATLO..HNZ.INT-20230309_0000266

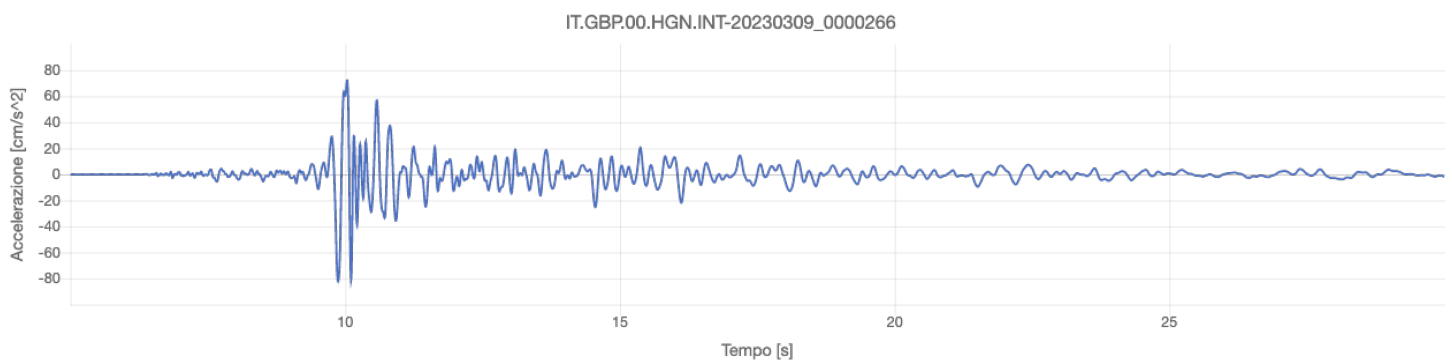
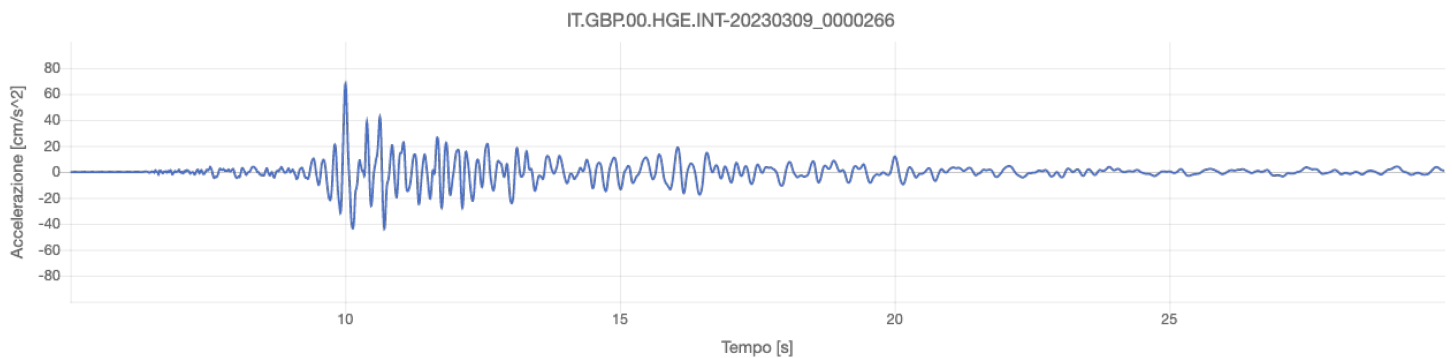


IT.GBP.00 (GUBBIO PIANA)

| | | | |
|-----------------------|---------------------------------|--------------------------|-------------------------------------|
| Codice rete: | IT | Descrizione rete: | Italian Strong Motion Network (RAN) |
| Stazione: | GBP | Nome stazione: | GUBBIO PIANA |
| ID sensore: | 00 | Strumento: | HG |
| Processamento: | manuale (Paolucci et al., 2011) | | |
| Rjb [km]: | 15.0 | Repi [km]: | 16.6 |
| Rrup [km]: | 16.5 | Rhyp [km]: | 18.5 |
| Classe EC8: | C | Vs30 [m/s]: | 224 |

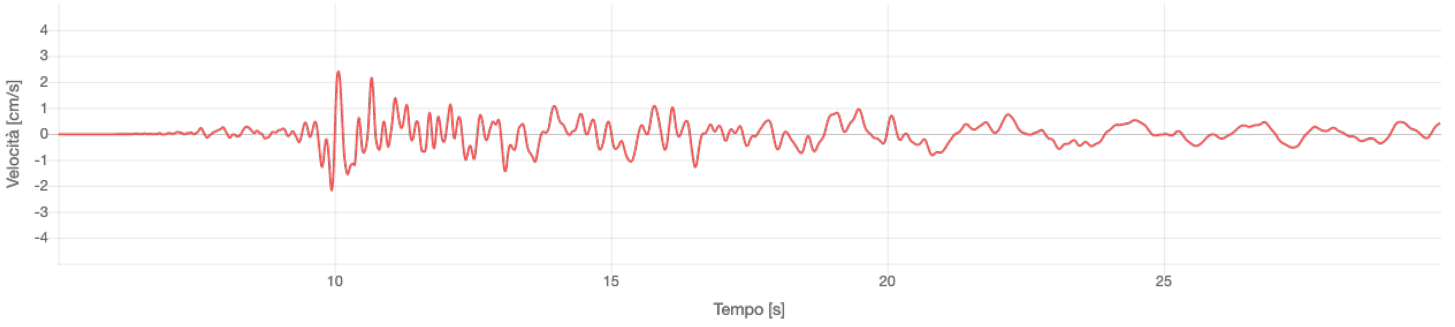


IT.GBP.00 - Accelerazione

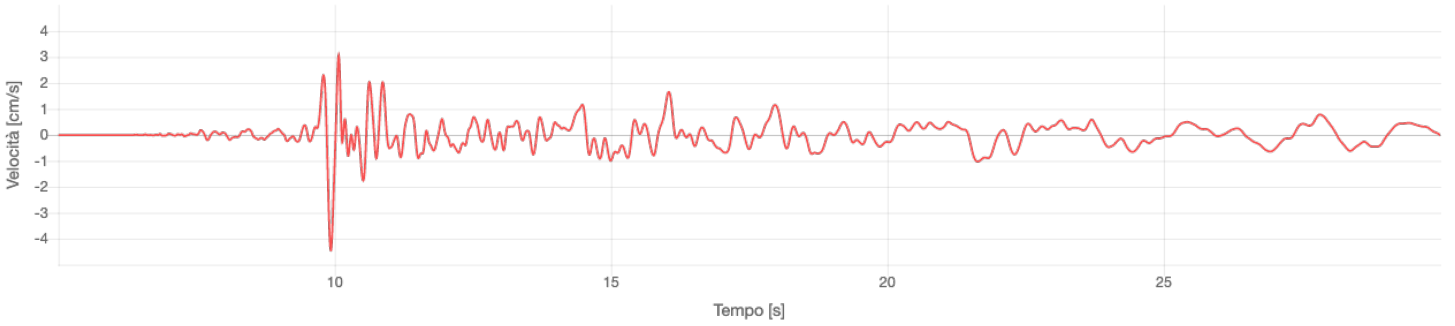


IT.GBP.00 - Velocità

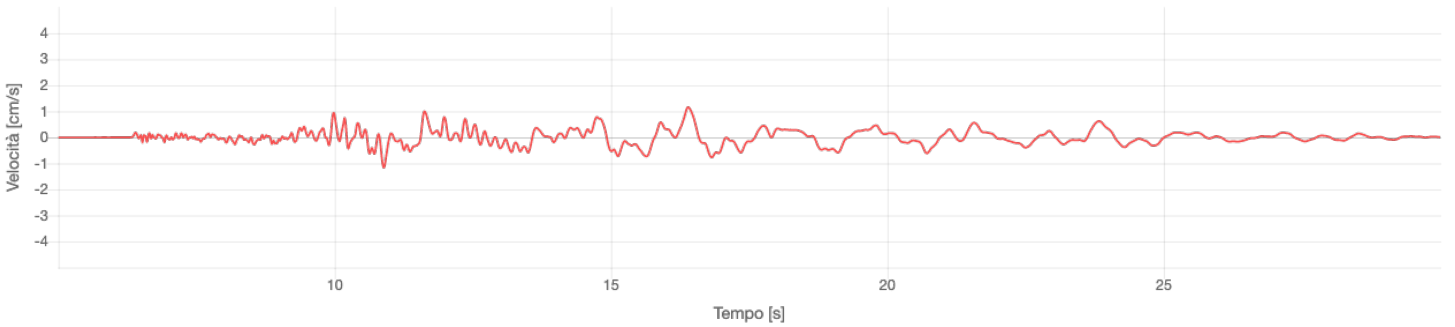
IT.GBP.00.HGE.INT-20230309_0000266



IT.GBP.00.HGN.INT-20230309_0000266



IT.GBP.00.HGZ.INT-20230309_0000266

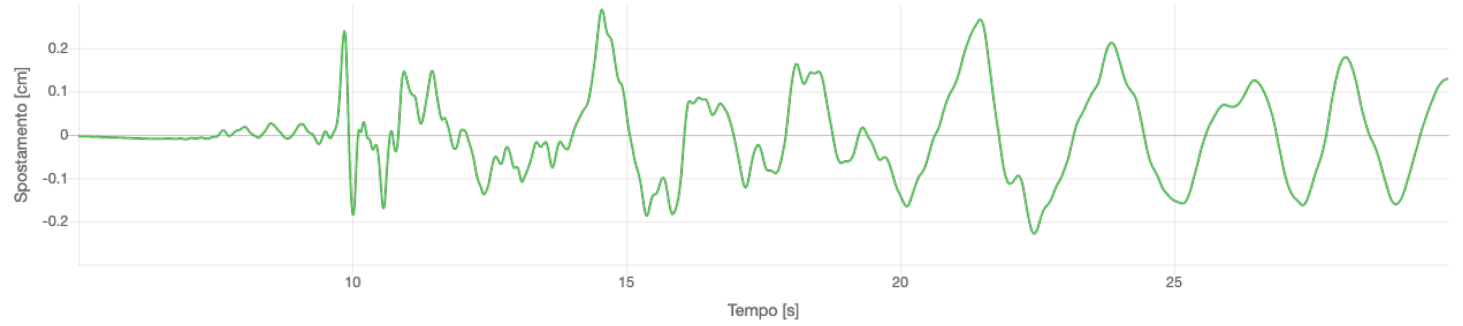


IT.GBP.00 - Spostamento

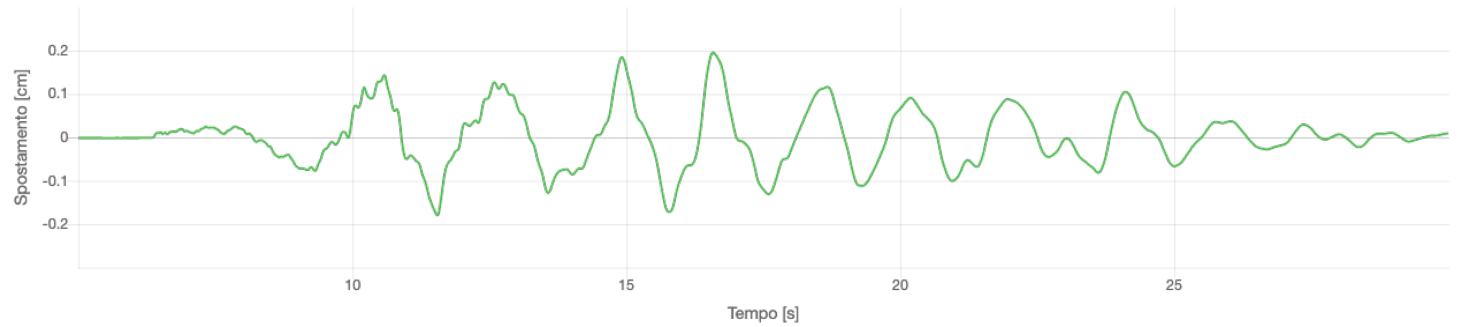
IT.GBP.00.HGE.INT-20230309_0000266



IT.GBP.00.HGN.INT-20230309_0000266

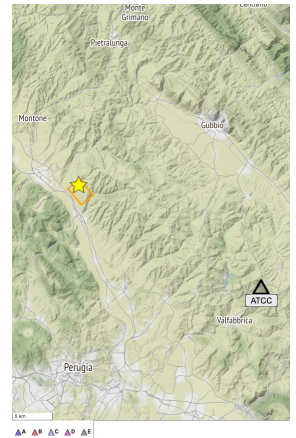


IT.GBP.00.HGZ.INT-20230309_0000266

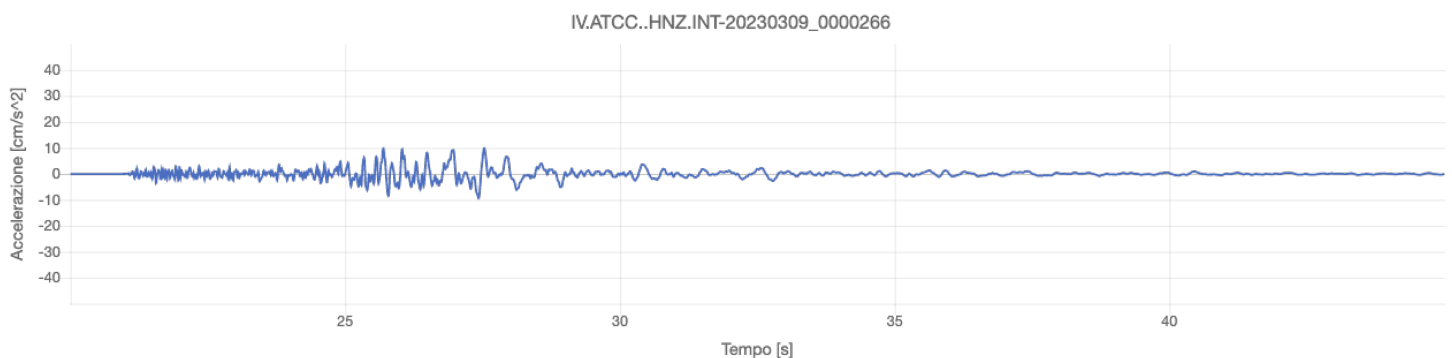
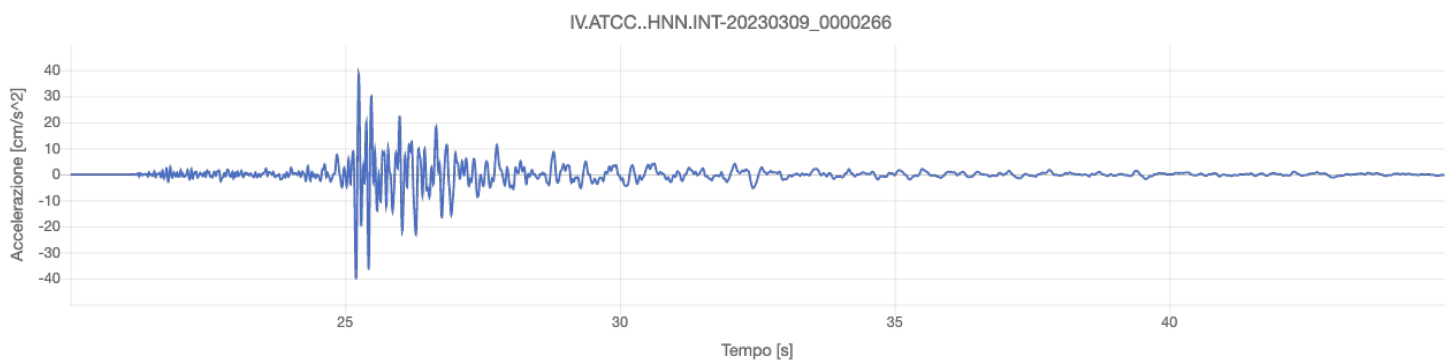
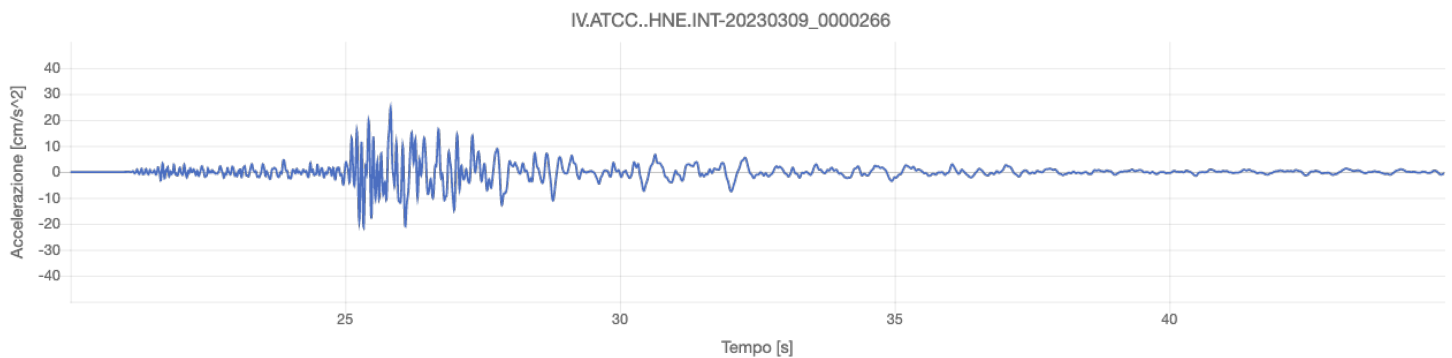


IV.ATCC. (AVT Casa Castalda)

| | | | |
|-----------------------|---------------------------------|--------------------------|---|
| Codice rete: | IV | Descrizione rete: | Italian National Seismic Network (INSN) |
| Stazione: | ATCC | Nome stazione: | AVT Casa Castalda |
| ID sensore: | | Strumento: | HN |
| Processamento: | manuale (Paolucci et al., 2011) | | |
| Rjb [km]: | 21.7 | Repi [km]: | 23.2 |
| Rrup [km]: | 22.8 | Rhyp [km]: | 24.7 |
| Classe EC8: | E | Vs30 [m/s]: | 653 |



IV.ATCC. - Accelerazione

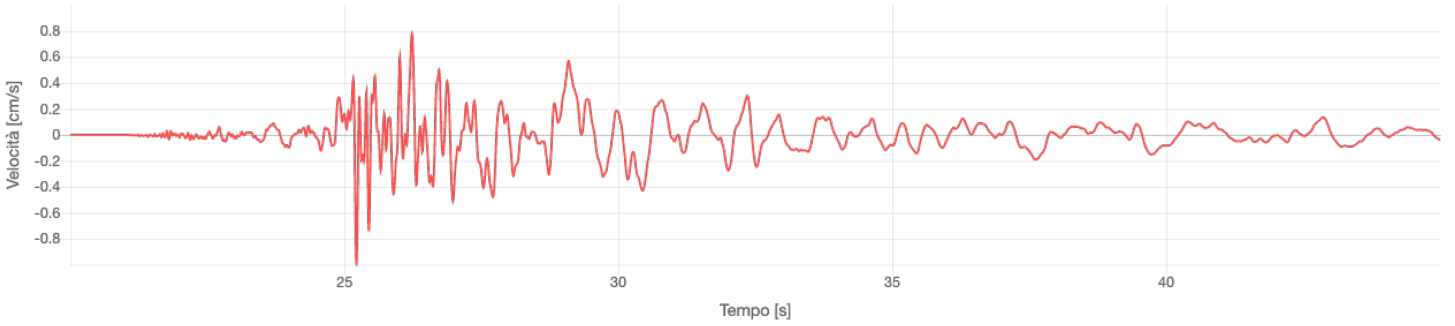


IV.ATCC. - Velocità

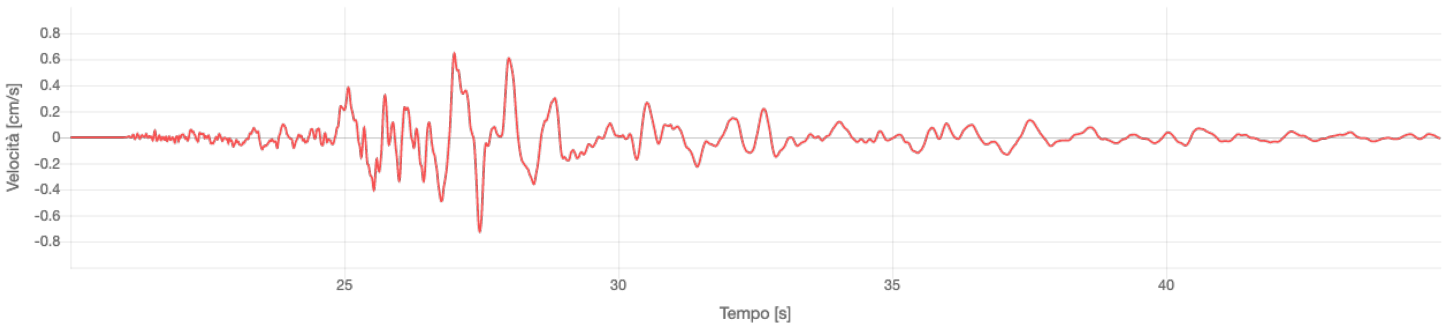
IV.ATCC..HNE.INT-20230309_0000266



IV.ATCC..HNN.INT-20230309_0000266

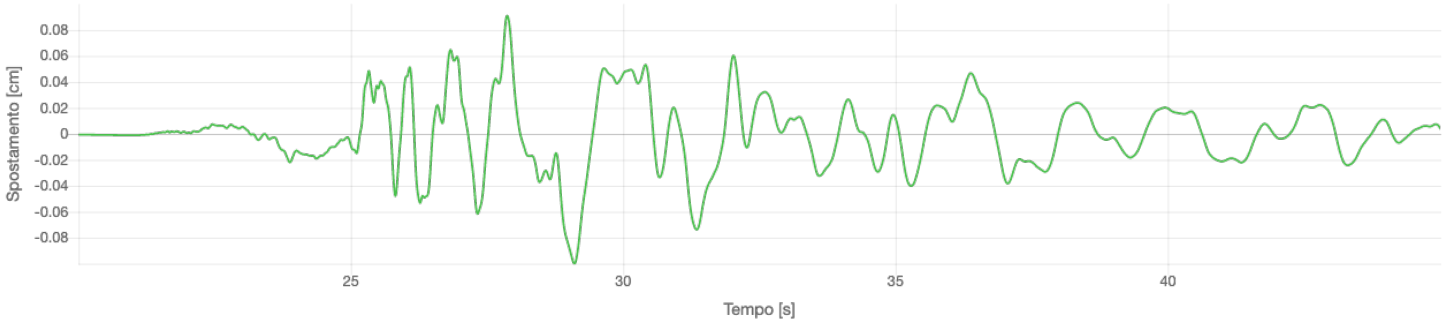


IV.ATCC..HNZ.INT-20230309_0000266

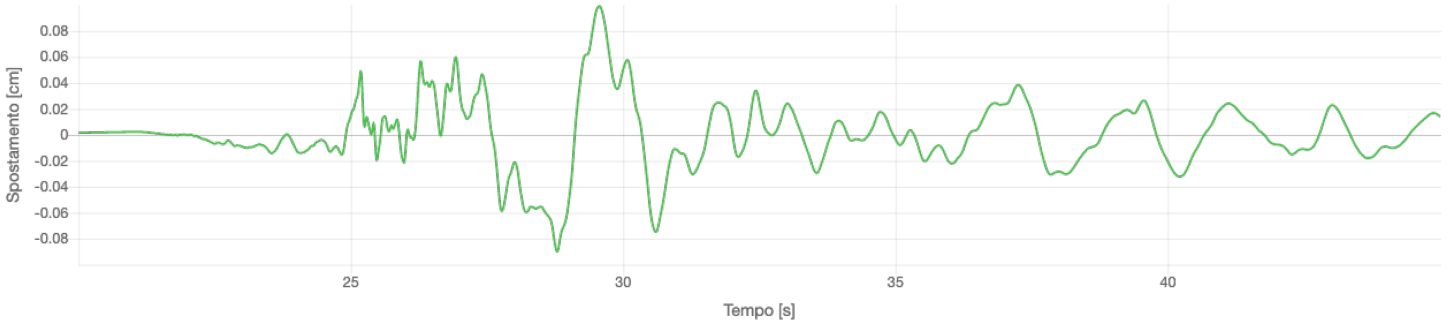


IV.ATCC. - Spostamento

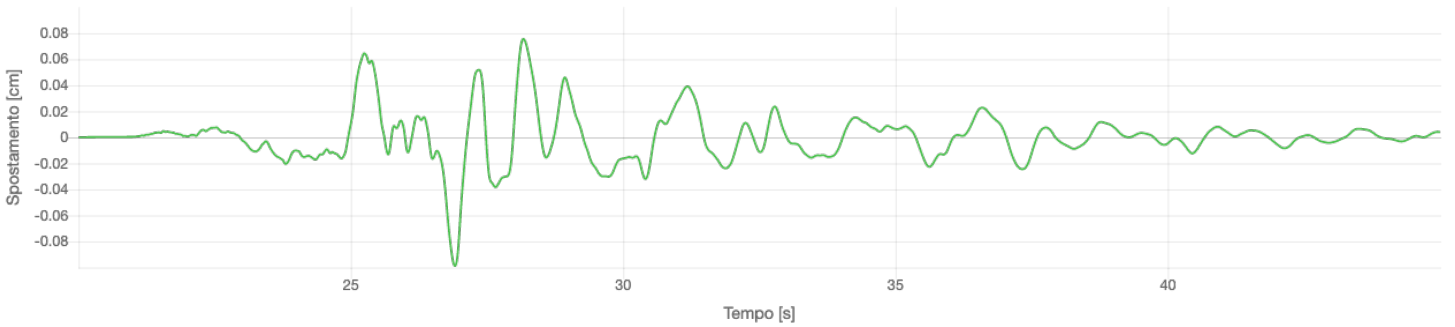
IV.ATCC..HNE.INT-20230309_0000266



IV.ATCC..HNN.INT-20230309_0000266

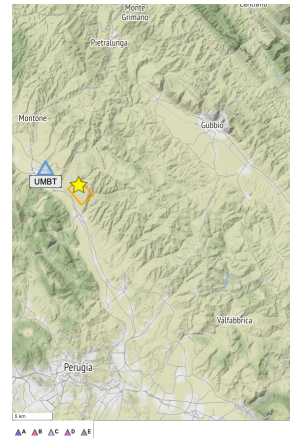


IV.ATCC..HNZ.INT-20230309_0000266



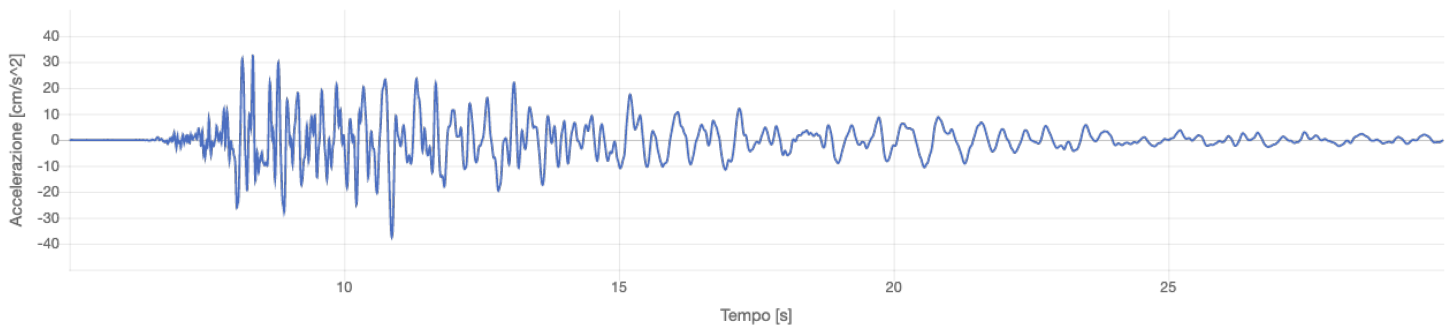
IT.UMBT.00 (UMBERTIDE)

| | | | |
|-----------------------|---------------------------------|--------------------------|-------------------------------------|
| Codice rete: | IT | Descrizione rete: | Italian Strong Motion Network (RAN) |
| Stazione: | UMBT | Nome stazione: | UMBERTIDE |
| ID sensore: | 00 | Strumento: | HG |
| Processamento: | manuale (Paolucci et al., 2011) | | |
| Rjb [km]: | 2.9 | Repi [km]: | 4.2 |
| Rrup [km]: | 7.9 | Rhyp [km]: | 9.3 |
| Classe EC8: | C | Vs30 [m/s]: | |

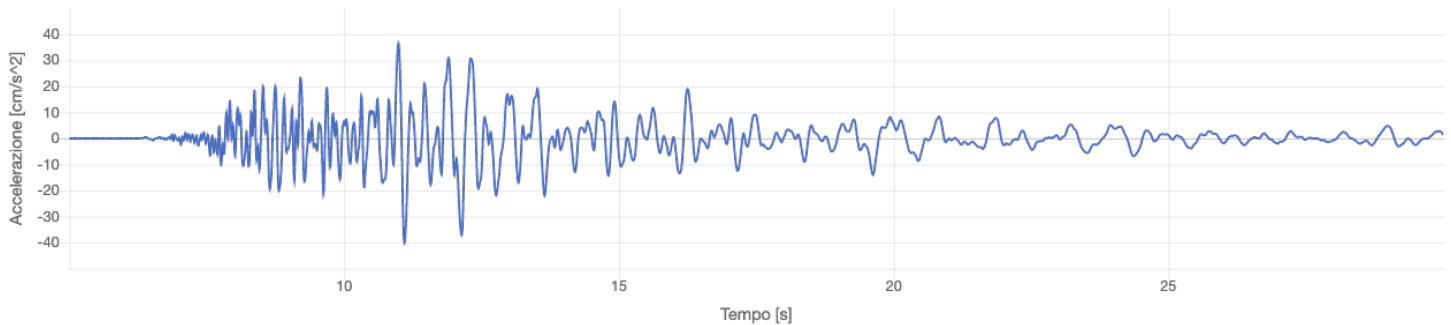


IT.UMBT.00 - Accelerazione

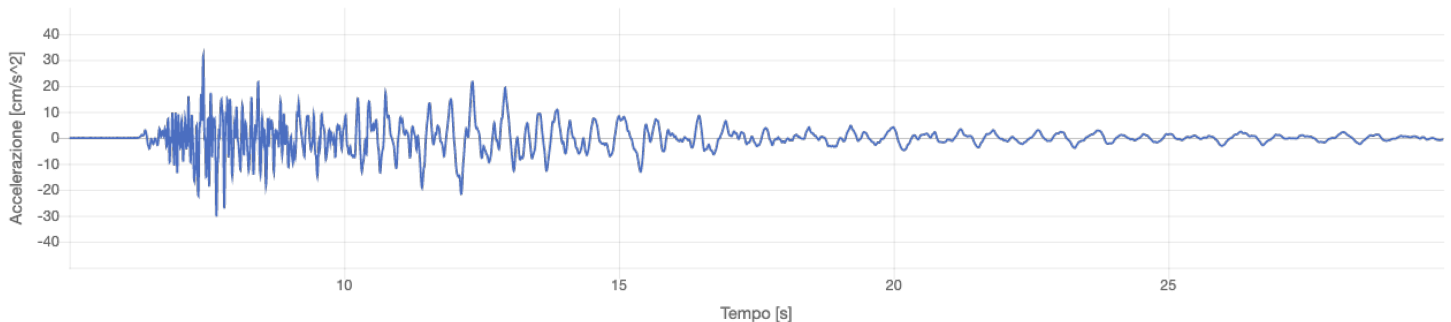
IT.UMBT.00.HGE.INT-20230309_0000266



IT.UMBT.00.HGN.INT-20230309_0000266

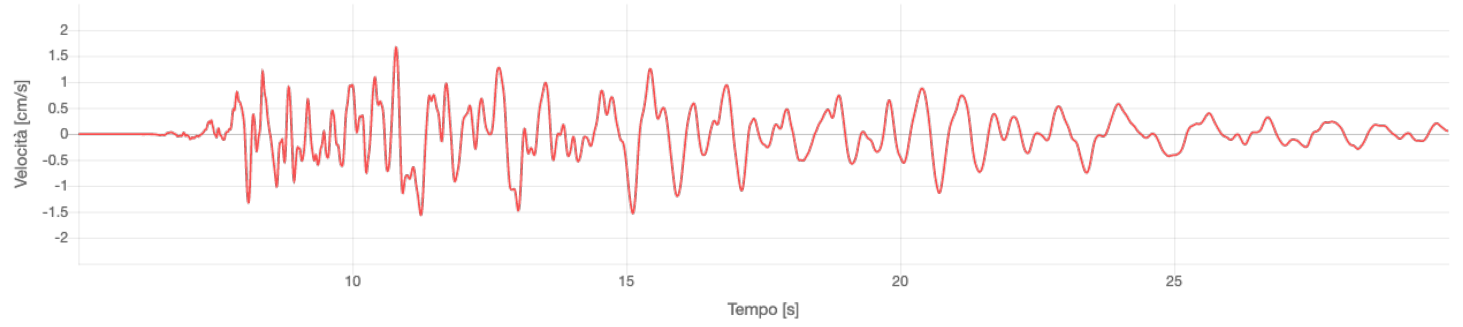


IT.UMBT.00.HGZ.INT-20230309_0000266

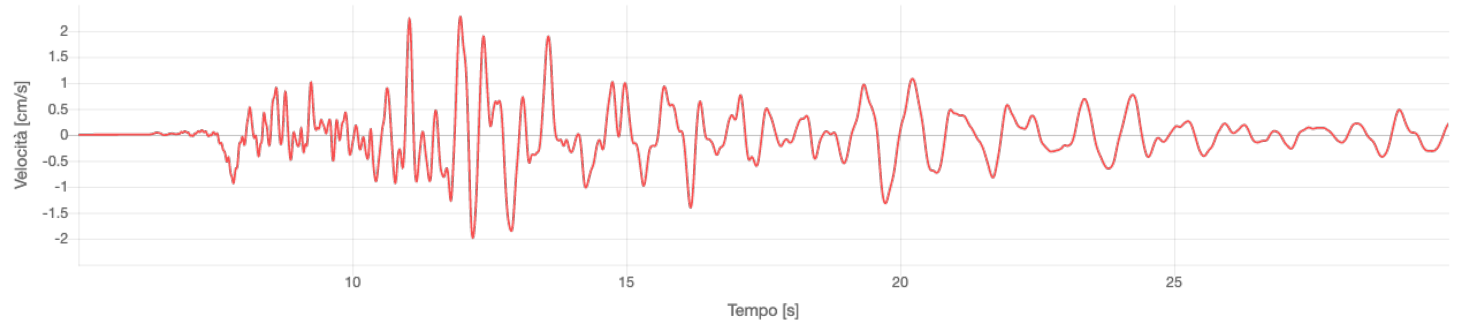


IT.UMBT.00 - Velocità

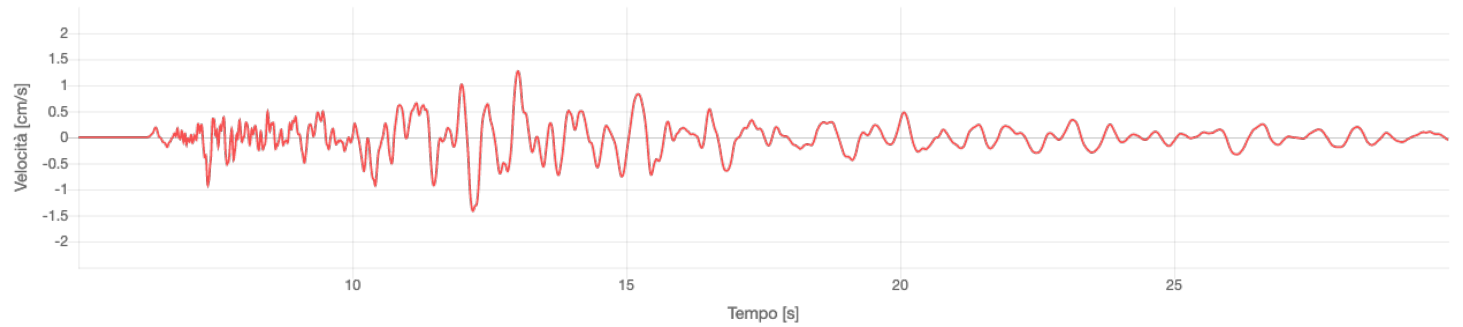
IT.UMBT.00.HGE.INT-20230309_0000266



IT.UMBT.00.HGN.INT-20230309_0000266

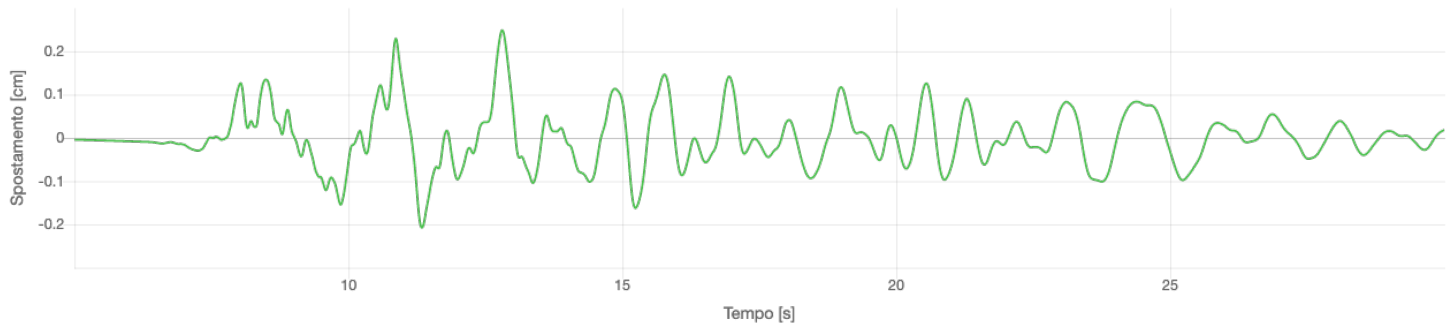


IT.UMBT.00.HGZ.INT-20230309_0000266

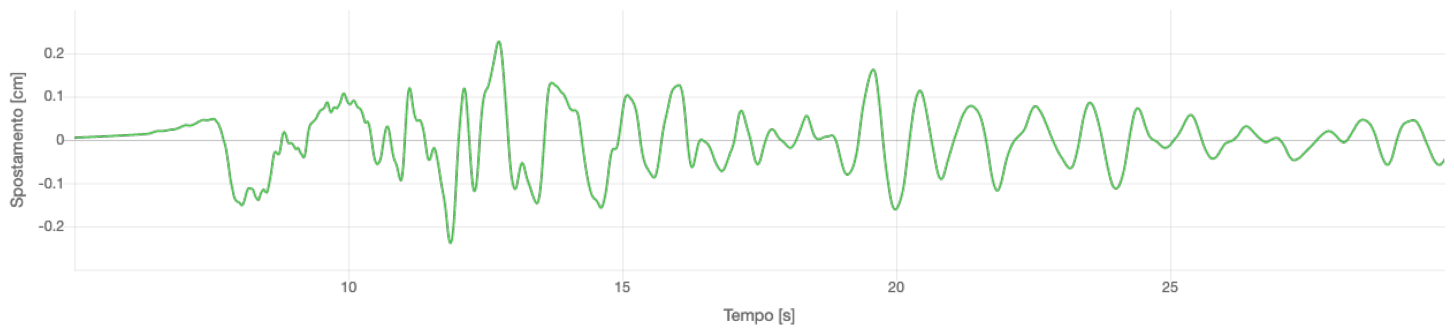


IT.UMBT.00 - Spostamento

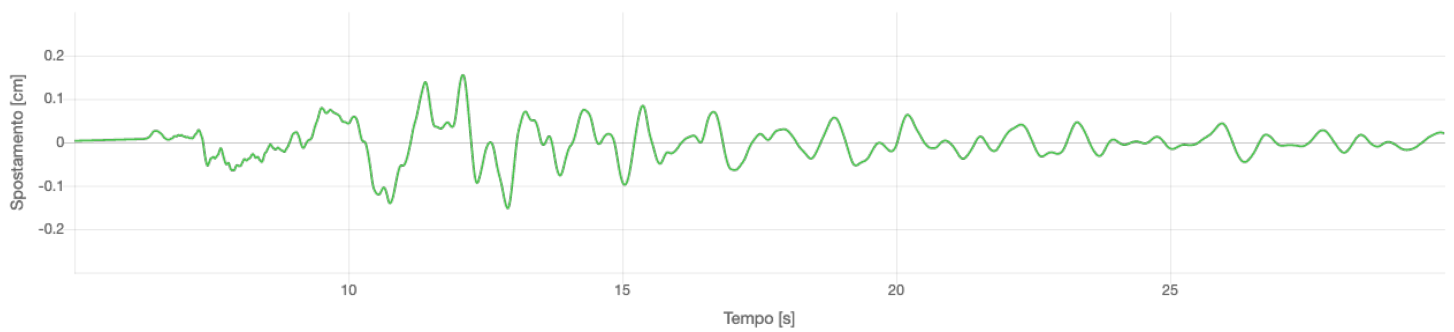
IT.UMBT.00.HGE.INT-20230309_0000266



IT.UMBT.00.HGN.INT-20230309_0000266

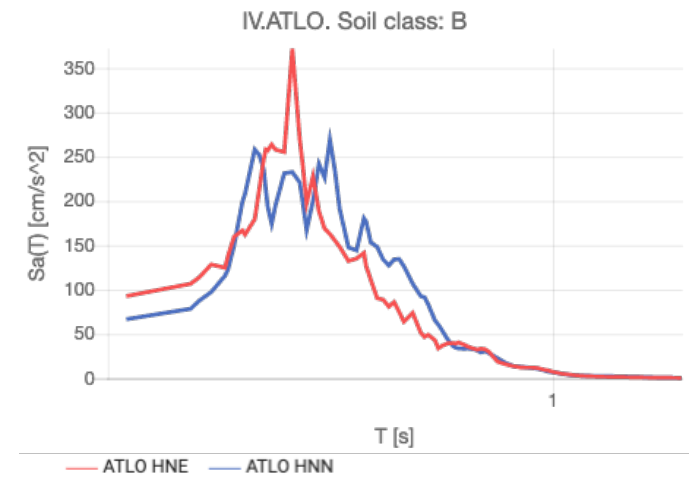
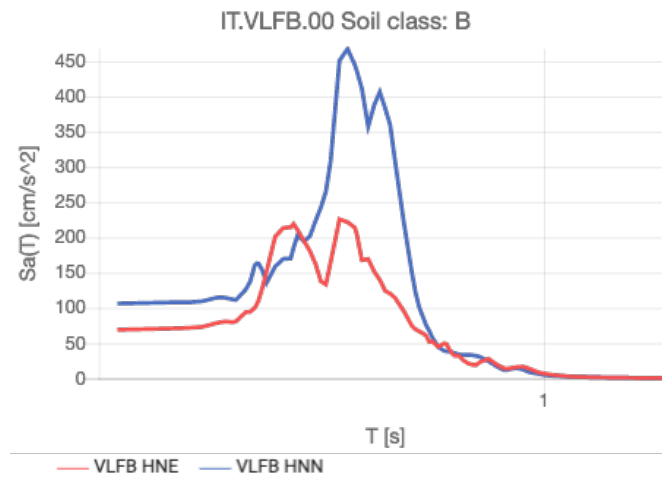
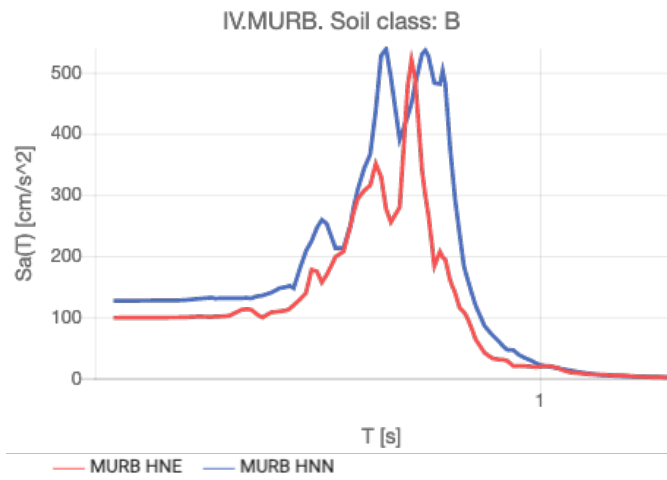


IT.UMBT.00.HGZ.INT-20230309_0000266

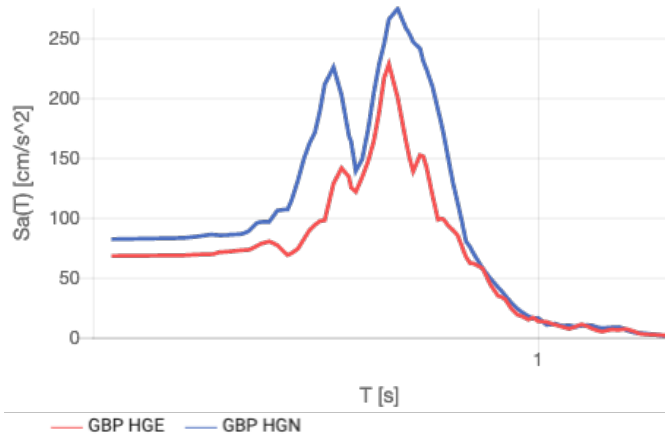


Componenti orizzontali

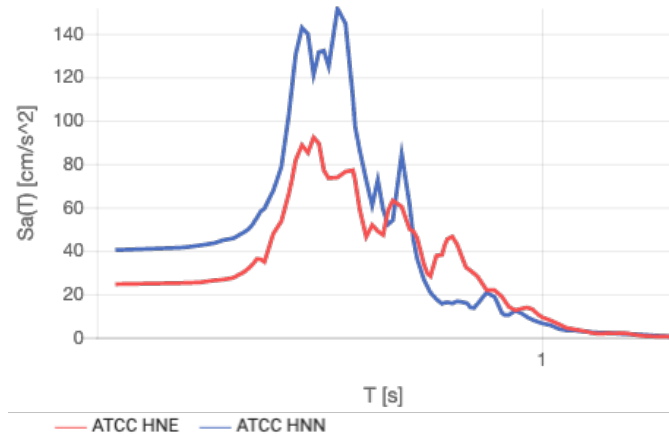
Target:



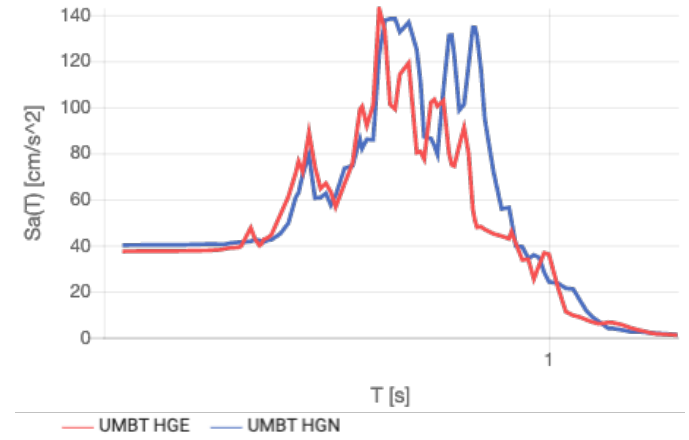
IT.GBP.00 Soil class: C



IV.ATCC. Soil class: E



IT.UMBT.00 Soil class: C



Componente verticale

Target:





Componenti orizzontali

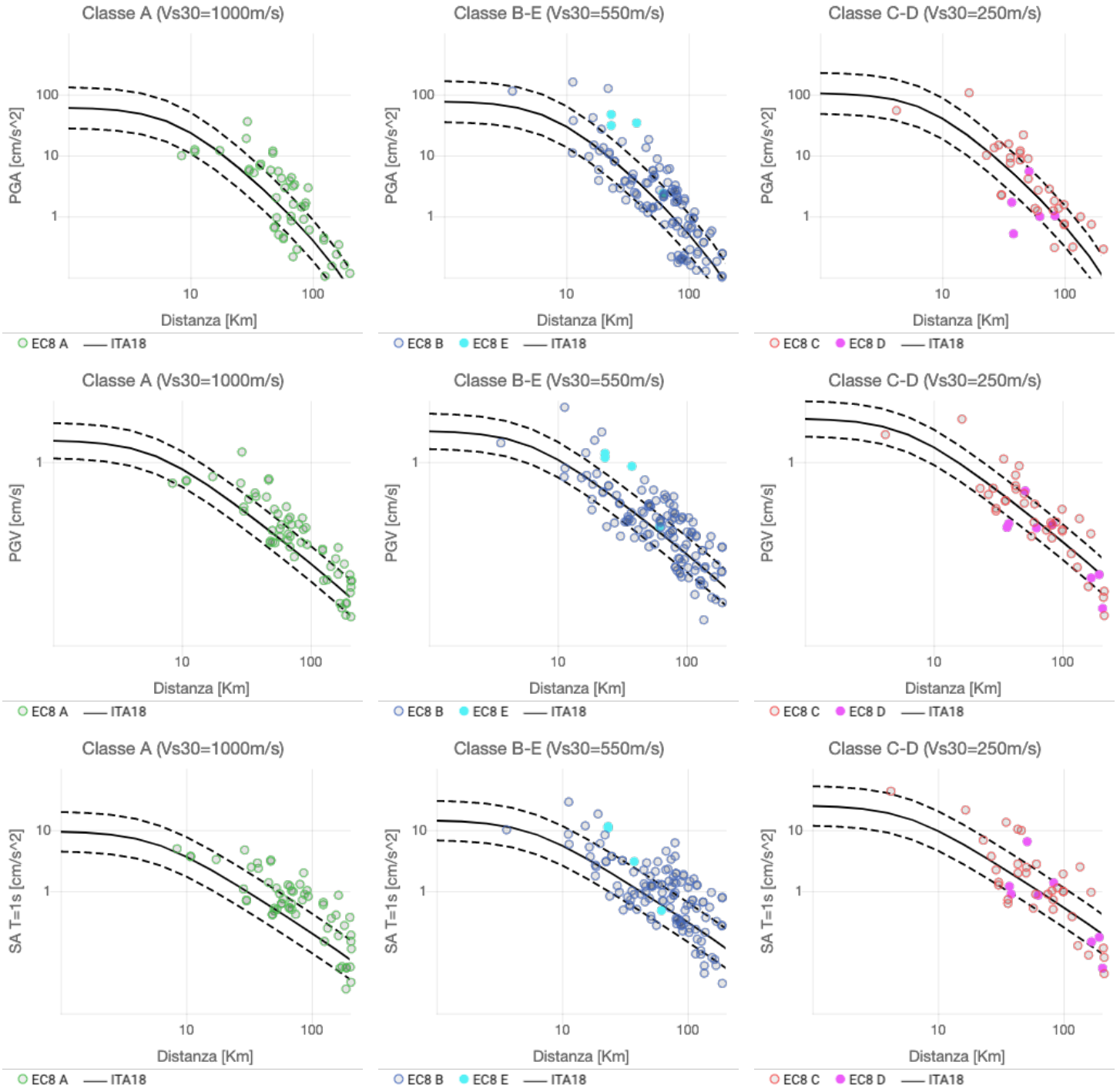
Regime sismotettonico:

Crosta attiva poco profonda
Rjb

Ground motion model:

ITA18

Distance metric:



Componenti verticali

Regime sismotettonico:

Crosta attiva poco profonda
Rjb

Ground motion model:

ITA18

Distance metric:

